

การสร้าง G-CODE PROCESSOR ด้วย อัลกอริทึม CORDIC

G-CODE PROCESSOR IMPLEMENTATION USING CORDIC ALGORITHM



อมร ช้วยชู

AMORN CHUAICHU

วท.ค.
๑๖๒๔๓
๒๕๔๕

เลขหม.....

เลขทะเบียน.....44053

วัน, เดือน, ปี.....25 ต.ค. 2545

b. 41255985
.....
1. 122 40 89๘
.....

วิทยานิพนธ์นี้เป็นส่วนหนึ่งของการศึกษาตามหลักสูตรปริญญาวิศวกรรมศาสตรมหาบัณฑิต

สาขาวิชาวิศวกรรมไฟฟ้า

บัณฑิตวิทยาลัย

สถาบันเทคโนโลยีพระจอมเกล้าเจ้าคุณทหารลาดกระบัง

✓ ส.พ.ค. เก้ว

พ.ศ. 2545

เอกสารนี้เป็นเอกสารที่สงวนไว้สำหรับการใช้งานเพื่อการศึกษาเท่านั้น ไม่อนุญาตให้นำไปใช้ประโยชน์ด้านการค้า

ISBN 974-324-037-3

G-CODE PROCESSOR IMPLEMENTATION USING CORDIC ALGORITHM



**A THESIS SUBMITTED IN PARTIAL FULFILLMENT
OF THE REQUIREMENT FOR THE DEGREE OF
MASTER OF ENGINEERING IN ELECTRICAL ENGINEERING
SCHOOL OF GRADUATE STUDIES**

KING MONGKUT'S INSTITUTE OF TECHNOLOGY LADKRABANG

2002

เอกสารนี้เป็นเอกสารที่สงวนไว้สำหรับ ISBN 974-324-037-3 เท่านั้น ไม่อนุญาตให้นำไปใช้ประโยชน์ด้านการค้า

ไม่ว่ากรณีใดๆทั้งสิ้น อีกทั้งห้ามมิให้ดัดแปลงเนื้อหา และต้องอ้างอิงถึงเจ้าของเอกสารทุกครั้งที่มีการนำไปใช้



COPYRIGHT 2002

SCHOOL OF GRADUATE STUDIES

KING MONGKUT'S INSTITUTE OF TECHNOLOGY LADKRABANG

เอกสารนี้เป็นเอกสารที่สงวนไว้สำหรับการใช้งานเพื่อการศึกษาเท่านั้น ไม่อนุญาตให้นำไปใช้ประโยชน์ด้านการค้า
ไม่ว่ากรณีใดๆทั้งสิ้น อีกทั้งห้ามมิให้ตัดแปลงเนื้อหา และต้องอ้างอิงถึงเจ้าของเอกสารทุกครั้งที่มีการนำไปใช้

หัวข้อวิทยานิพนธ์	การสร้าง G-Code Processor ด้วยอัลกอริทึม CORDIC
นักศึกษา	นายอมร ช่วยชู
รหัสประจำตัว	41061135
ปริญญา	วิศวกรรมศาสตรมหาบัณฑิต
สาขาวิชา	วิศวกรรมศาสตรไฟฟ้า
พ.ศ.	2545
อาจารย์ผู้ควบคุมวิทยานิพนธ์	ผศ. บรรจง ปิยะธำรง

บทคัดย่อ

ในปัจจุบันได้ใช้ระบบเครื่องจักรซีเอ็นซีในงานอุตสาหกรรมอย่างกว้างขวางซึ่งเครื่องจักรซีเอ็นซีเหล่านี้ต้องสามารถรับคำสั่งควบคุมการทำงานของเครื่องจักรที่เรียกว่า จี-โค้ดได้ ในการพัฒนาระบบซีเอ็นซีโดยทั่วไปได้ใช้โปรเซสเซอร์ เช่น ไมโครคอนโทรเลอร์ ไมโครโปรเซสเซอร์ หรือ ไมโครคอมพิวเตอร์ ในการควบคุมการทำงานของเครื่องจักร แต่ชุดคำสั่ง (Instruction Set) ของโปรเซสเซอร์เหล่านี้ไม่เหมาะสมกับคำสั่งจี-โค้ด ทำให้การพัฒนาโปรแกรมเป็นไปได้ยากและซับซ้อน

ในงานวิจัยนี้เป็นการออกแบบโปรเซสเซอร์ที่รับชุดคำสั่งเป็นจี-โค้ด หรือเรียกว่า “จี-โค้ดโปรเซสเซอร์” ซึ่งแบ่งส่วนประกอบเป็น 4 ส่วน คือ ส่วนของการคำนวณโดยใช้ CORDIC อัลกอริทึม ส่วนควบคุมใช้หลักการไมโครโปรแกรม ส่วนการเก็บข้อมูล และ ส่วนเชื่อมต่อสัญญาณ ซึ่งการวิจัยนี้ได้แสดงให้เห็นถึงโครงสร้างการทำงาน, อัลกอริทึม, วงจร และ ผลการทำงาน ในส่วนการคำนวณของจี-โค้ดโปรเซสเซอร์เป็นหลัก

คำสำคัญ : สถาปัตยกรรมคอมพิวเตอร์, เครื่องจักรซีเอ็นซี, คอร์ดิกอัลกอริทึม, จี-โค้ด

Thesis Title	G-Code Processor Implementation Using CORDIC Algorithm
Student	Mr. Amorn Chuaichu
Student ID	41061135
Degree	Master of Engineering
Programme	Electriccal Engineering
Year	2002
Thesis Advisor	Assoc.Prof.Bunjong Piyathumrong

Abstract

Nowadays, CNC Mechanism, which can receive command to control in the format “G-Code” in order the process of machine, is widely used in Industry. This system is normally developed by using processors, such as micro-controllers, microprocessors or microcomputer, but the instruction set of such processors are not suitable with G-Code commands; This leads to a difficulty and complication when we want to develop a G-Code program on this processors.

This thesis concerns a design of processor which can receive command in the form of G-Code, so we called this processor a “G-Code Processor” and it consists of 4 components. They are Arithmetic Unit using CORDIC algorithm, Control Unit using Micro-programs, data paths and registers, and an interface unit respectively. This research investigates an architecture algorithm, circuit, and Arithmetic Unit of the G-Code processor.

Keyword : Computer Architecture, CNC Machine, CORDIC Algorithm, G-Code

กิตติกรรมประกาศ

วิทยานิพนธ์ฉบับนี้สำเร็จลุล่วงได้อย่างดี ด้วยคำแนะนำและคำปรึกษาเกี่ยวกับแนวทางการทำวิทยานิพนธ์ในทุกด้านจาก ผศ.บรรจง ปิยะธำรง ซึ่งเป็นอาจารย์ผู้ควบคุมวิทยานิพนธ์ ผู้วิจัยรู้สึกซาบซึ้งในความอนุเคราะห์จากท่านและขอกราบขอบพระคุณเป็นอย่างสูง

อมร ช่วยชู



เอกสารนี้เป็นเอกสารที่สงวนไว้สำหรับการใช้งานเพื่อการศึกษาเท่านั้น ไม่อนุญาตให้นำไปใช้ประโยชน์ด้านการค้า
ไม่ว่ากรณีใดๆทั้งสิ้น อีกทั้งห้ามมิให้ตัดแปลงเนื้อหา และต้องอ้างอิงถึงเจ้าของเอกสารทุกครั้งที่มีการนำไปใช้

สารบัญ

	หน้า
บทคัดย่อภาษาไทย	I
บทคัดย่อภาษาอังกฤษ	II
กิตติกรรมประกาศ	III
สารบัญ	IV
สารบัญตาราง	VII
สารบัญรูป	VIII
บทที่ 1. บทนำ	1
1.1 ความเป็นมา	1
1.2 วัตถุประสงค์ในการศึกษา	1
1.3 ทฤษฎีและแนวคิดในงานวิจัย	2
1.4 ขอบเขตการวิจัย	2
1.5 ประโยชน์ที่ได้จากงานวิจัยนี้	2
บทที่ 2 งานวิจัยที่เกี่ยวข้องและหลักการของ จี-โค้ด โปรเซสเซอร์	4
2.1 บทนำ.....	4
2.2 งานวิจัยที่เกี่ยวข้อง	4
2.3 โครงสร้างของการทำงาน จี-โค้ด โปรเซสเซอร์	10
2.4 ส่วนการทำงานต่างๆของ จี-โค้ด โปรเซสเซอร์	11
2.4.1 การทำงานของส่วนประมวลผล	11
2.4.2 การทำงานของส่วนควบคุมภายใน	11
2.4.3 การทำงานของส่วนเชื่อมต่ออุปกรณ์ภายนอก	13
2.4.4 การทำงานหน่วยเก็บข้อมูลและเส้นทางข้อมูล	15
2.5 สรุปและแนวทางการวิจัย	16
บทที่ 3 การทำงานของ คอร์ดิกอัลกอริทึม	17
3.1 บทนำ.....	17
3.2 หลักการของ CORDIC (COordinate Rotation Digital Computing)	17
3.3 โครงสร้างการทำงานของ Block Diagram พื้นฐานของคอร์ดิก	20
3.4 การทำงานของ วงจรคอร์ดิก	21

เอกสารนี้เป็นเอกสารที่สงวนไว้สำหรับการใช้งานเพื่อการศึกษาเท่านั้น ไม่อนุญาตให้นำไปใช้ประโยชน์ด้านการค้า
ไม่ว่ากรณีใดๆทั้งสิ้น อีกทั้งห้ามมิให้ตัดแปลงเนื้อหา และต้องอ้างอิงถึงเจ้าของเอกสารทุกครั้งที่มีการนำไปใช้

สารบัญ (ต่อ)

	หน้า
3.5 การปรับปรุงการคำนวณค่าคอร์ติคัล	21
3.5.1 การทำงานของวงจร PreCORDIC	21
3.5.2 การทำงานของวงจร PostCORDIC	22
3.6 สรุป	23
บทที่ 4 การคำนวณค่าของหน่วยประมวลผลใน จี-โค้ด โปรเซสเซอร์	24
4.1 บทนำ	24
4.2 สมการหน่วยประมวลผลของ จี-โค้ด โปรเซสเซอร์	24
4.2.1 การคำนวณทางคณิตศาสตร์	24
4.2.2 การคำนวณด้วย คอร์ติคัลลอกรีทึม	25
4.3 การสร้างวงจรจากสมการหน่วยประมวลผล	26
4.4 โครงสร้างหน่วยประมวลผลที่ใช้หลักการ คอร์ติคัลลอกรีทึม	28
4.5 สรุป	29
บทที่ 5 อุปกรณ์และการทดลอง	30
5.1 บทนำ	30
5.2 การทดสอบความถูกต้องของการคำนวณทางคณิตศาสตร์	30
5.2.1 การจำลองทางคณิตศาสตร์ตามหลักการ คอร์ติคัลลอกรีทึม	30
5.2.2 การจำลองทางคณิตศาสตร์หน่วยประมวลผล จีโค้ด โปรเซสเซอร์	36
5.2.3 การจำลองทางคณิตศาสตร์ ตามรูปแบบการใช้งานจริง	38
5.3 การทดสอบทางด้านความเร็วในการทำงาน	39
4.4 สรุป	41
บทที่ 6 สรุปผลการวิจัยและข้อเสนอแนะ	42
6.1 สรุปผลการวิจัย	42
6.2 แนวทางในการพัฒนา	43
บรรณานุกรม	45

เอกสารนี้เป็นเอกสารที่สงวนไว้สำหรับการใช้งานเพื่อการศึกษาเท่านั้น ไม่อนุญาตให้นำไปใช้ประโยชน์ด้านการค้า
ไม่ว่ากรณีใดๆทั้งสิ้น อีกทั้งห้ามมิให้ตัดแปลงเนื้อหา และต้องอ้างอิงถึงเจ้าของเอกสารทุกครั้งที่มีการนำไปใช้

สารบัญ (ต่อ)

หน้า

ภาคผนวก ก. โปรแกรมภาษา C ที่ใช้กับตัวประมวลผล MCH 51 เพื่อคำนวณ คำสั่ง G00 และ G01	47
ประวัติผู้เขียน	49



สารบัญตาราง

ตารางที่	หน้า
2.1 เปรียบเทียบคำสั่ง จี-โค้ด กับชุดคำสั่งของ จี-โค้ด โปรเซสเซอร์	10
2.2 ชุดคำสั่งไมโคร โปรแกรมของ Control Unit	12
3.1 การทำงานรูปแบบต่างๆของคอร์ติค	18
3.2 การทำงานรูปแบบต่างๆของคอร์ติค หลังการปรับปรุ้งค่าแล้ว	19
3.3 ค่าคงที่ที่ใช้ในสมการของคอร์ติค	19
4.1 การแทนส่วนต่างๆของหลักการแก้สมการหน่วยประมวลผลด้วยวงจรถิติดอล	27



เอกสารนี้เป็นเอกสารที่สงวนไว้สำหรับการใช้งานเพื่อการศึกษาเท่านั้น ไม่นอนุญาตให้นำไปใช้ประโยชน์ด้านการค้า
ไม่ว่ากรณีใดๆทั้งสิ้น อีกทั้งห้ามมิให้ดัดแปลงเนื้อหา และต้องอ้างอิงถึงเจ้าของเอกสารทุกครั้งที่มีการนำไปใช้

สารบัญรูป

รูปที่	หน้า
2.1 โครงสร้างระบบควบคุมของเครื่องจักรซีเอ็นซี ที่ใช้หลักการ FMS	4
2.2 โครงสร้างระบบควบคุมของเครื่องจักรซีเอ็นซี ที่ใช้หลักการ HFMS	5
2.3 การทำงานของเครื่องจักรซีเอ็นซี ที่ใช้ระบบสื่อสาร Fieldbus	5
2.4 โครงสร้างระบบควบคุม ที่ใช้ระบบไมโครคอมพิวเตอร์ กับตัวประมวลผลเชิงเลข	6
2.5 โครงสร้างระบบควบคุมของเครื่องจักรซีเอ็นซี ที่พัฒนาในส่วนโปรแกรม	6
2.6 โครงสร้างระบบควบคุมของเครื่องจักรซีเอ็นซี ที่เป็นงานวิจัยในประเทศ	7
2.7 การทำงานของระบบควบคุมการเคลื่อนที่โดยใช้วงจรรวม HCTL-1000	7
2.8 การทำงานของระบบควบคุมการเคลื่อนที่โดยใช้การ์ดควบคุมสำเร็จรูป PMD5650	8
2.9 การทำงานของระบบควบคุมการเคลื่อนที่โดยใช้วงจรรวม HCTL-1100	8
2.10 การทำงานของระบบเครื่องจักรซีเอ็นซี โดยใช้ จี-โค้ด โปรเซสเซอร์	9
2.11 โครงสร้างสถาปัตยกรรม จี-โค้ด โปรเซสเซอร์	10
2.12 โครงสร้างของส่วนควบคุมภายใน	12
2.13 วงจรการทำงานในส่วนเชื่อมต่อกับอุปกรณ์ภายนอก	14
2.14 สัญญาณในการอ่านค่าจากอุปกรณ์ภายนอก และเป็นสัญญาณในการเขียนอุปกรณ์ ภายนอก.....	14
2.15 โครงสร้างของเส้นทางข้อมูลและส่วนเก็บข้อมูล	15
3.1 Block Diagram CORDIC	20
3.2 วงจรคอรีติค	21
3.3 วงจร PreCORDIC	22
3.4 วงจร PostCORDIC	23
4.1 ค่าต่างๆตามสมการที่ 4.3 เพื่อทำการประมาณเส้นโค้งด้วยเส้นตรง	25
4.2 หลักการแก้สมการที่ 4.2 ด้วย COEDIC อัลกอริทึม	25
4.3 การแก้สมการที่ 4.3 ด้วย CORDIC อัลกอริทึม	26
4.4 วงจรดิจิทัลตามหลักการคำนวณการเคลื่อนที่เป็นเส้นตรง	27
4.5 วงจรดิจิทัลตามหลักการคำนวณการเคลื่อนที่เป็นเส้นโค้งส่วนของวงกลม	28
4.6 วงจรหน่วยประมวลผลของ จีโค้ด โปรเซสเซอร์	29
5.1 การทดสอบการทำงานของ Pre-CORDIC	31
5.2 การทดสอบการทำงานของ Post-CORDIC	32

เอกสารนี้เป็นเอกสารที่สงวนไว้สำหรับการใช้งานเพื่อการศึกษาเท่านั้น ไม่อนุญาตให้นำไปใช้ประโยชน์ด้านการค้า

ไม่ว่ากรณีใดๆทั้งสิ้น อีกทั้งห้ามมิให้ตัดแปลงเนื้อหา และต้องอ้างอิงถึงเจ้าของเอกสารทุกครั้งที่มีการนำไปใช้

สารบัญรูป (ต่อ)

รูปที่	หน้า
5.3 แสดงเอาต์พุตและค่าที่เกิดจากการคำนวณผิดพลาดของ อัลกอริทึม CORDIC-R	34
5.4 แสดงเอาต์พุตและค่าที่เกิดจากการคำนวณผิดพลาดของ อัลกอริทึม CORDIC-V	35
5.5 แสดงค่าเอาต์พุตของการจำลองการทำงาน G00G0I	37
5.6 แสดงค่าความผิดพลาดของการจำลองการทำงานคิดเป็นร้อยละ	37
5.7 แสดงค่าคู่อันดับ (P_x, P_y) และค่าผิดพลาด ที่ได้จากการทดลองโปรแกรม G02	38
5.8 แสดงเส้นทางการเคลื่อนที่ของหัวเครื่องจักรตามแนวระนาบ x,y	39
5.9 ผลการวัดการประมวลผลจากระบบจริงที่ใช้ MCS-51 ความถี่ระบบ 8 MHz	40
5.10 ผลการจำลองวงจรประมวลผล ด้วยโปรแกรม Foundation 1.5	40



บทที่ 1

บทนำ

1.1 ความเป็นมา

ในปัจจุบันในประเทศไทยมีการใช้เครื่องจักรซีเอ็นซี (Computer Numerical Control Machine : CNC Machine) มาใช้ในงานอุตสาหกรรมอย่างมากส่งผลให้เกิดมีการทำงานวิจัยทางด้านนี้กันอย่างกว้างขวาง เช่น งานวิจัยที่ใช้ไมโครคอนโทรลเลอร์ [1] หรือใช้การประมวลผลสัญญาณดิจิทัล (Digital Signal Processor : DSP) [2,3] มาควบคุมการเคลื่อนที่ (Motion Control) ของเครื่องจักรซีเอ็นซี นอกจากนี้ยังมีงานวิจัยที่ใช้บอร์ดควบคุมการเคลื่อนที่สำเร็จรูป (Motion Control Board) มาใช้ในการควบคุมการเคลื่อนที่ของเซอร์โวมอเตอร์แบบไฟฟ้ากระแสตรง (DC) และกระแสสลับ (AC) โดยใช้ชิพควบคุมการเคลื่อนที่ (Motion Control Chip) HCTL-1000 [4] หรือบอร์ด PMD-5650 และใช้ชิพ PMD [5] จากงานวิจัยที่กล่าวมาทั้งหมดนี้ นอกจากการทำการควบคุมการเคลื่อนที่แล้วเพื่อที่จะพัฒนาเครื่องจักรซีเอ็นซียังจำเป็นต้องมีงานที่เกี่ยวกับคำสั่งจี-โค้ด (G-Code) เช่น G00, G01, G02 และ G03 เป็นคำสั่งในการเคลื่อนที่เป็นเส้นตรง (Linear Interpolation) และเส้นโค้งส่วนของวงกลม (Circular Interpolation) ในการประมวลผลงานส่วนนี้งานวิจัยที่กล่าวถึงข้างต้น [2][4-6] นั้นได้แยกการทำงานออกจากชิพที่ใช้ในการควบคุมการเคลื่อนที่ โดยใช้ชิพอีกตัวแทน เช่นงานวิจัย [2,3][5] จะใช้การ์ดการควบคุมการเคลื่อนที่ เสียบลงในสล็อตของเครื่องไมโครคอมพิวเตอร์ ซึ่งจะใช้ไมโครคอมพิวเตอร์ทำงานในส่วนของการสั่ง จี-โค้ด หรือ งานวิจัยที่ใช้ไมโครคอนโทรลเลอร์ 8 บิต [6] ทำงานในส่วนของการสั่ง จี-โค้ด

1.2 วัตถุประสงค์ในการศึกษา

วัตถุประสงค์ในงานวิจัยนี้เป็นแนวทางในการสร้าง วงจรรวมเฉพาะงาน Application Specific Integrated Circuit (ASIC) เพื่อรองรับงานทางด้านคำสั่ง จี-โค้ด แทนการทำงานของไมโครคอนโทรลเลอร์ ไมโครโปรเซสเซอร์ DSP และ ไมโครคอมพิวเตอร์ ที่ไม่ได้ออกแบบชุดคำสั่ง (Instruction Set) มาสำหรับการทำงานกับคำสั่ง จี-โค้ด โดยเฉพาะ ดังนั้นงานวิจัยนี้ได้ออกแบบ จี-โค้ด โปรเซสเซอร์ที่มีชุดคำสั่งเป็น จี-โค้ด ทำให้มีความเหมาะสมในการทำงานมากกว่าช่วยให้การพัฒนาารบบเครื่องจักรซีเอ็นซีได้ง่ายขึ้น ผู้พัฒนาระบบไม่จำเป็นต้องเขียนโปรแกรมเพื่อรองรับคำสั่ง จี-โค้ด แต่จะส่งคำสั่งมาให้ จี-โค้ด โปรเซสเซอร์ทำงานแทน

1.3 ทฤษฎีและแนวคิดในงานวิจัย

การทำงานของวงจรในงานวิจัยนี้จะแบ่งออกได้เป็น 4 ส่วน

1) วงจรในการประมวลผล (Arithmetic Unit) เปรียบเทียบได้กับ ALU (Arithmetic and Logic Unit) ของโปรเซสเซอร์ทั่วไปแต่แตกต่างในส่วนฟังก์ชันการคำนวณที่ซับซ้อน เพื่อรองรับการคำนวณการเคลื่อนที่เป็นเส้นตรงและเส้นโค้งส่วนของวงกลม (Linear & Circular Interpolation) ซึ่งการทำงานในส่วนนี้จะแตกต่างจากโปรเซสเซอร์ทั่วไปมากที่สุด คือวงจรในส่วนนี้ต้องมีความสามารถในการแก้สมการที่มีฟังก์ชัน $\text{Cos}(\)$, $\text{Sin}(\)$, $\text{Tan}^{-1}(\)$ และ $\text{Sqrt}(\)$ ซึ่งในงานวิจัยนี้ใช้หลักการของ CORDIC (COordinate Rotation Digital Computer) [7-11] เพื่อใช้ในการคำนวณหาฟังก์ชันดังกล่าว

2) วงจรในการควบคุมภายใน (Control Unit) ใช้หลักการของไมโครโปรแกรม [12] ในการสร้างสัญญาณเพื่อนำไปควบคุมส่วนต่างๆ มีคำสั่งไมโครโปรแกรม 16 คำสั่ง การกระโดด การเรียกโปรแกรมย่อย และการวนรอบ

3) ส่วนของรีจิสเตอร์ที่ใช้เก็บข้อมูล และเส้นทางของข้อมูล (Register and Data Path) เป็นการอ้างถึงตำแหน่งข้อมูลแบบพื้นฐานคือ การเข้าหาข้อมูลทางตรง (Direct Mode) ซึ่งจะเป็นแนวทางในการออกแบบการเข้าหาข้อมูลในรูปแบบอื่นๆ ได้

4) ส่วนของการเชื่อมต่อกับอุปกรณ์ภายนอก (Interface Unit) เป็นการออกแบบให้มีความสอดคล้องกับสัญญาณออกมาติดต่อกับอุปกรณ์ภายนอกได้เหมือน ไมโครคอนโทรลเลอร์ตระกูล MCS51

1.4 ขอบเขตการวิจัย

โดยเนื้อหาหลักของงานวิจัยนี้สนใจรายละเอียดของการทำงานในส่วนที่ 1 คือส่วนของวงจรในการประมวลผล ซึ่งเป็นการทำงานที่ซับซ้อน แตกต่างไปจากรูปแบบของหน่วยประมวลผลทั่วไป และยังเป็นตัวบ่งชี้ในการวัดประสิทธิภาพของโปรเซสเซอร์ได้เป็นอย่างดี ทั้งทางด้านความถูกต้องและทางด้านความเร็วในการทำงาน โดยในงานวิจัยนี้ได้แสดงการคำนวณและผลการคำนวณของส่วนการประมวลผล โดยแบ่งส่วนประมวลผลออกเป็นส่วนย่อยๆ เพื่อตรวจสอบความถูกต้อง ในการคำนวณ

1.5 ประโยชน์ที่ได้จากงานวิจัยนี้

ประโยชน์ที่ได้รับจากงานวิจัยโดยแบ่งเป็นข้อๆมีดังต่อไปนี้

1) วิจัยนี้เป็นแนวทางส่วนหนึ่งในการสร้าง จี-โค้ดโปรเซสเซอร์ ซึ่งงานวิจัยนี้ได้แสดงหลักการใหม่ในการออกแบบหน่วยประมวลผลของ จี-โค้ดโปรเซสเซอร์ โดยนำเสนอหลักการของเอกสารนี้เป็นเอกสารที่สงวนไว้สำหรับการใช้งานเพื่อการศึกษาเท่านั้น ไม่อนุญาตให้นำไปใช้ประโยชน์ด้านการค้า ไม่ว่าจะกรณีใดๆทั้งสิ้น อีกทั้งห้ามมิให้ตัดแปลงเนื้อหา และต้องอ้างอิงถึงเจ้าของเอกสารทุกครั้งที่มีการนำไปใช้

การคำนวณรวมกันโดยใช้คอร์ดิกอัลกอริทึม [7-11] เพื่อแก้สมการการคำนวณที่ต้องใช้ฟังก์ชัน $\text{Cos}()$, $\text{Sin}()$, $\text{Tan}^{-1}()$ และ $\text{Sqrt}()$ ซึ่งการคำนวณนี้เป็นการคำนวณที่ซับซ้อนกว่าการคำนวณของโปรเซสเซอร์ทั่วไป โดยในส่วนของรวมกันนี้เป็นการประยุกต์จากหลักการของการคำนวณรวมกันของคอร์ดิกอัลกอริทึม ที่ได้ถูกใช้แก้ปัญหาสมการทางด้านอื่นมาแล้ว

2) แสดงถึงหลักการ โดยละเอียดของ คอร์ดิกอัลกอริทึม สมการทางการคำนวณ, ความถูกต้องของการทำงาน, ช่วงของการตอบสนอง และการขยายช่วงในการตอบสนอง โดยใช้หลักการ PreCORDIC และ PostCORDIC ผลวิเคราะห์ส่วนสำคัญต่างๆที่มีผลต่อการคำนวณของหลักการคอร์ดิกอัลกอริทึม โดยทั้งหมดนี้เป็นการรวบรวมผลมาจากงานวิจัยต่างๆ ซึ่งเป็นประโยชน์ในการประยุกต์ใช้หลักการคอร์ดิกอัลกอริทึมกับงานทางด้านอื่น

3) ผลการทำงานของคอร์ดิกอัลกอริทึมในส่วนต่างๆ แสดงค่าอินพุตตัวอย่าง, ค่าเอาต์พุต และค่าความผิดพลาด ที่เกิดขึ้นจากการทำงานของหลักการคอร์ดิกอัลกอริทึม เพื่อเป็นข้อมูลในการออกแบบนำหลักการคอร์ดิกอัลกอริทึมไปประยุกต์ใช้งาน และทำความเข้าใจการทำงานในแต่ละส่วนของการทำงานตามหลักการคอร์ดิกอัลกอริทึม

4) แสดงวงจรดิจิทัลที่สร้างจากหลักการคอร์ดิกอัลกอริทึม และวงจรดิจิทัลที่ได้จากการประยุกต์ใช้หลักการคอร์ดิกอัลกอริทึม เพื่อเป็นแนวทางในการสร้างวงจรทั้งส่วนหลักการคอร์ดิกอัลกอริทึม และ ส่วนประมวลผล จี-โค้ดโปรเซสเซอร์ รวมถึงสามารถนำวงจรที่สร้างจากหลักการคอร์ดิกอัลกอริทึมไปใช้ในการประยุกต์ทางด้านอื่น และใช้งานจริง

บทที่ 2

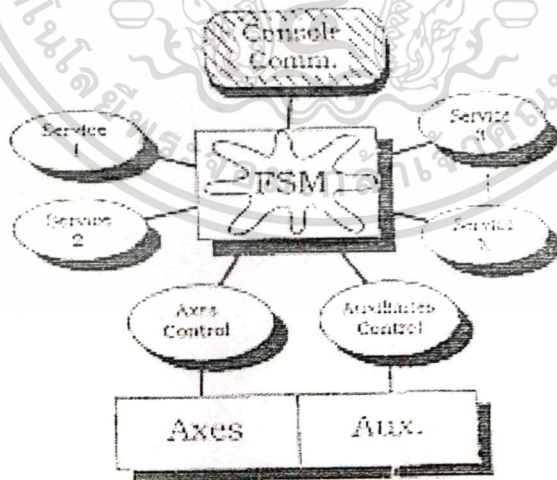
งานวิจัยที่เกี่ยวข้องและหลักการของ จี-โค้ดโปรเซสเซอร์

2.1 บทนำ

ในบทนี้กล่าวถึงงานวิจัยที่เกี่ยวข้องทั้งงานวิจัยในประเทศไทยและงานวิจัยของต่างประเทศ โดยแสดงถึงระบบต่างๆที่ได้มีการออกแบบไว้ของงานทางด้านเครื่องจักรซีเอ็นซี รวมถึงในบทนี้ได้นำเสนอโครงสร้างของการ จี-โค้ดโปรเซสเซอร์ เพื่อใช้งานในระบบเครื่องจักรซีเอ็นซี ในส่วนของ การตอบสนองต่อคำสั่ง จี-โค้ด

2.2 งานวิจัยที่เกี่ยวข้อง

ในงานวิจัยทางด้านเครื่องจักรซีเอ็นซี ในช่วงแรกอยู่ในปี ค.ศ.1991 โดย J.D. Decotignie และ Michel Moreaux [13] โดยผลงานวิจัยดังกล่าว เป็นระบบที่เมื่อรับคำสั่งจากทางผู้ใช้งานแล้ว หลังจากนั้นนำคำสั่งต่างๆ ผ่านเข้าไปในส่วนกลาง ที่ใช้หลักการการออกแบบทางวงจรถิติดอล คือ FMS (Finite State Machine) หลังจากนั้นระบบส่วนกลาง ทำการกระตุ้นการทำงานส่วนต่างๆของ เครื่องจักร ซึ่งเห็นได้ว่าการทำงานดังกล่าวทำให้วงจรการทำงานในส่วนกลางมีขนาดใหญ่มากและ ซับซ้อน แสดงการทำงานดังรูป 2.1

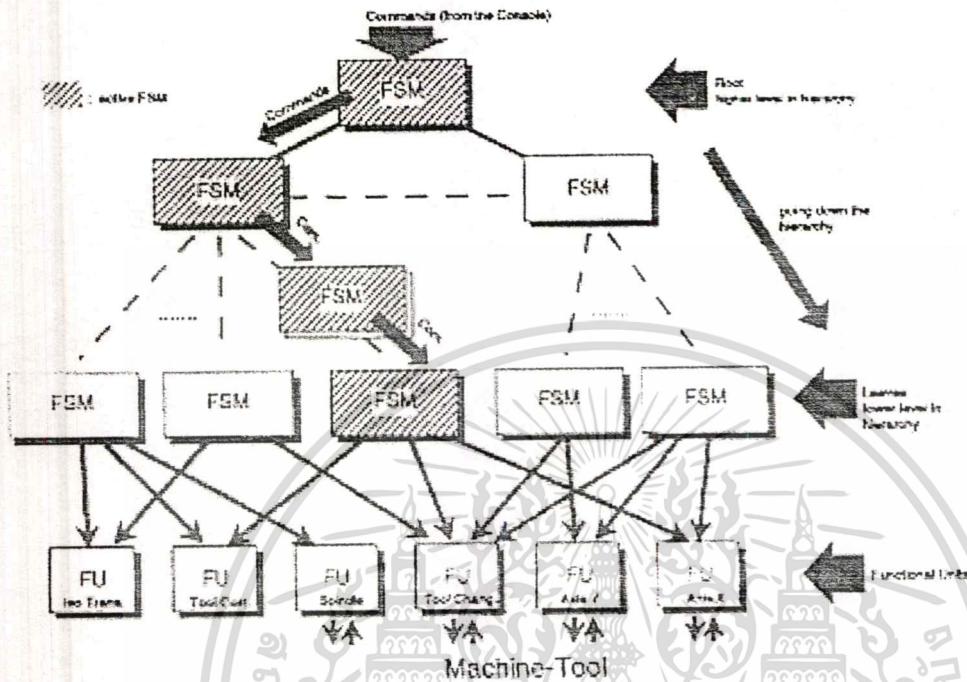


รูปที่ 2.1 โครงสร้างระบบควบคุมของเครื่องจักรซีเอ็นซี ที่ใช้หลักการ FMS

หลังจากนั้นในปี ค.ศ.1993 Michel Moreaux [14] ก็ได้เสนอหลักการ HFMS (Hierarchical Finite State Machine) โดยเมื่อมีคำสั่งจากผู้ใช้งานระบบ หลังจากนั้นทำการแตกการทำงานออกเป็น ส่วนๆ

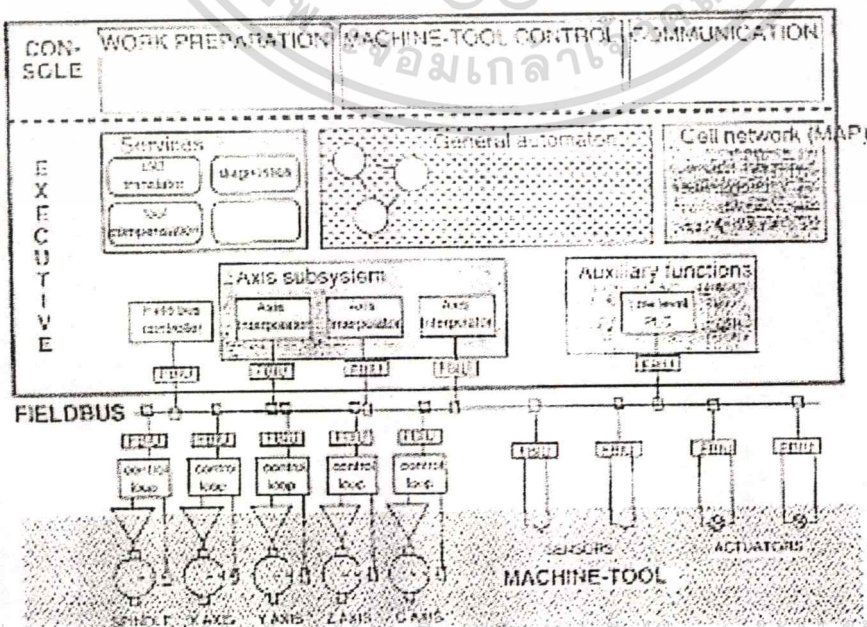
โดยการนำส่วนแรกทำการกระตุ้นการทำงานในส่วนต่อไป ไม่จนสุดท้ายเป็นการกระตุ้นการ ค่า ไม่ว่าจะกรณีใดๆทั้งสิ้น อีกทั้งห้ามมิให้ตัดแปลงเนื้อหา และต้องอ้างอิงถึงเจ้าของเอกสารทุกครั้งที่มีการนำไปใช้

ทำงานส่วนต่างๆของเครื่องจักร ทำให้การออกแบบวงจรในส่วนนี้มีความซับซ้อนน้อยลง แต่ก็ยังมีความยากในการออกแบบอยู่มาก แสดงในรูปที่ 2.2



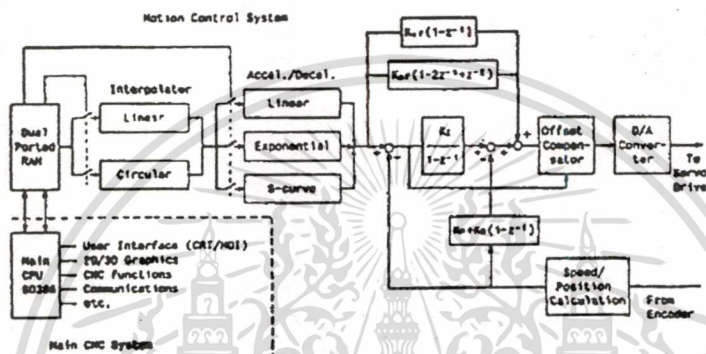
รูปที่ 2.2 โครงสร้างระบบควบคุมของเครื่องจักรซีเอ็นซี ที่ใช้หลักการ HFMS

หลังจากนั้นในปี ค.ศ.1994 J.D. Decotignie ได้ปรับปรุงระบบโดยการใส่ระบบสื่อสาร ฟิลด์บัส (Fieldbus) ในการเชื่อมต่อกันระหว่างส่วนควบคุมหลัก และ ส่วนของเครื่องจักร ดังแสดงรูปที่ 2.3



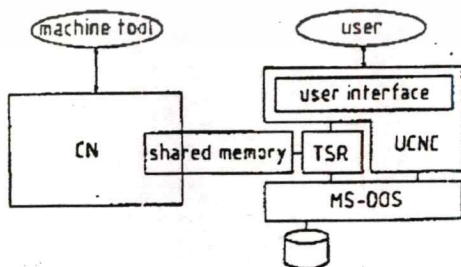
รูปที่ 2.3 การทำงานของเครื่องจักรซีเอ็นซี ที่ใช้ระบบสื่อสาร Fieldbus

ในงานวิจัยทางด้านเครื่องจักรซีเอ็นซี ได้มีแนวคิดในการสร้างระบบอีกแบบโดยการใช้เครื่องไมโครคอมพิวเตอร์ (MicroComputer) ร่วมกับตัวประมวลผลสัญญาณดิจิทัล (DSP, Digital Signal Processor) เช่น ในปี ค.ศ. 1991 ได้มีผู้วิจัย Dong-II Kim, Jin-II และ Sungkwun Kim [7][16,17] ได้นำเสนอผลงานวิจัยโดยใช้เครื่องไมโครคอมพิวเตอร์ที่มีหน่วยประมวลผลเป็น CPU80386 เชื่อมต่อกับ หน่วยความจำแบบ 2 ทาง (Dual Ported Ram) โดยด้านหนึ่งต่อเข้ากับระบบบัสของเครื่องไมโครคอมพิวเตอร์ และอีกด้านหนึ่งต่อเข้ากับ ตัวประมวลผลสัญญาณดิจิทัล TMS 32030 โดยได้แสดงโครงสร้างดังรูปที่ 2.3



รูปที่ 2.4 โครงสร้างการควบคุม ที่ใช้ระบบไมโครคอมพิวเตอร์ กับตัวประมวลผลสัญญาณดิจิทัล

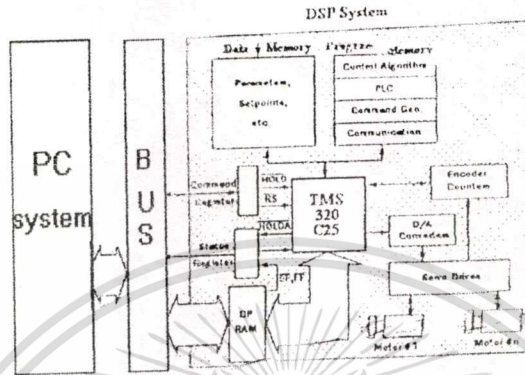
นอกจากนี้ยังมีงานวิจัยทางด้าน โปรแกรมของเครื่องจักรซีเอ็นซี โดยใช้หลักการเชิงวัตถุ (Object-Oriented) เพื่อพัฒนาความสามารถของเครื่องจักรซีเอ็นซี ซึ่งโครงสร้างของระบบ ได้ใช้หน่วยประมวลผลสองส่วน ส่วนแรกเหมือนเครื่องไมโครคอมพิวเตอร์ และส่วนที่สองใช้เหมือนตัวประมวลผลสัญญาณดิจิทัลในงานวิจัย [7][16-17] ซึ่งวิธีดังกล่าวได้ตีพิมพ์ปี ค.ศ. 1998 ผู้วิจัย F.Bulera, B.Fontenella, P.Nesi และ M.Perfetti [18] แสดง โครงสร้างดังรูปที่ 2.5



รูปที่ 2.5 โครงสร้างระบบควบคุมของเครื่องจักรซีเอ็นซี ที่พัฒนาในส่วนโปรแกรม

ในส่วนของงานวิจัยในประเทศไทยในปี พ.ศ. 2536 สิ้นชัย กมลภักดิ์ ได้พัฒนาระบบเครื่องจักรซีเอ็นซีชนิดแกนเดียว [1] โดยใช้ไมโครคอนโทรลเลอร์เป็นหลัก หลังจากนั้น พ.ศ. 2536 สมหญิง ไทยนิมิต และ วโรคม ตูจันดา [2] ได้พัฒนาระบบซีเอ็นซีสำหรับฝักอบรม โดยมี

โครงสร้างเป็นเครื่องไมโครคอมพิวเตอร์เชื่อมต่อกับตัวประมวลผลสัญญาณดิจิทัล (DSP, Digital Signal Processor) ซึ่งเป็นโครงสร้างที่ใกล้เคียงกับงานวิจัย [7][16-17] ในปี พ.ศ. 2537 วโรคม ตูจินดา[3] ได้ตีพิมพ์ในวิทยานิพนธ์ การทำงานในส่วนของตัวประมวลผลสัญญาณดิจิทัล แสดง ในรูปที่ 2.6



รูปที่ 2.6 โครงสร้างระบบควบคุมของเครื่องจักรซีเอ็นซี ที่เป็นงานวิจัยในประเทศ

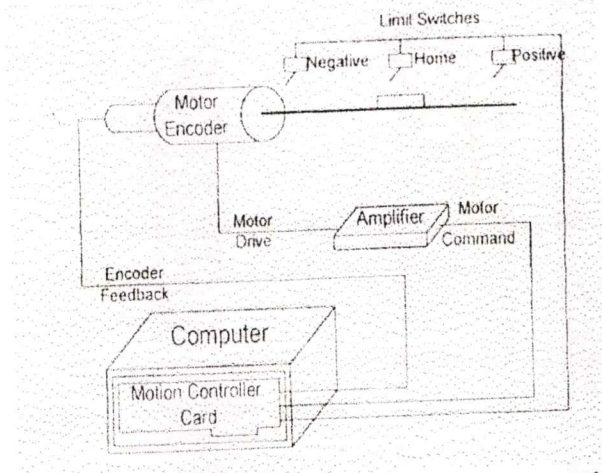
ในปี พ.ศ.2537 เริ่มมีการใช้วงจรรวมในการควบคุมการเคลื่อนที่ (Motion Control Chip) HCTL-1000 [4] เพื่อใช้แทนในส่วนของตัวประมวลผลสัญญาณดิจิทัล แสดงการทำงานของระบบดังรูปที่

2.7



รูปที่ 2.7 การทำงานของระบบควบคุมการเคลื่อนที่ โดยใช้วงจรรวม HCTL-1000

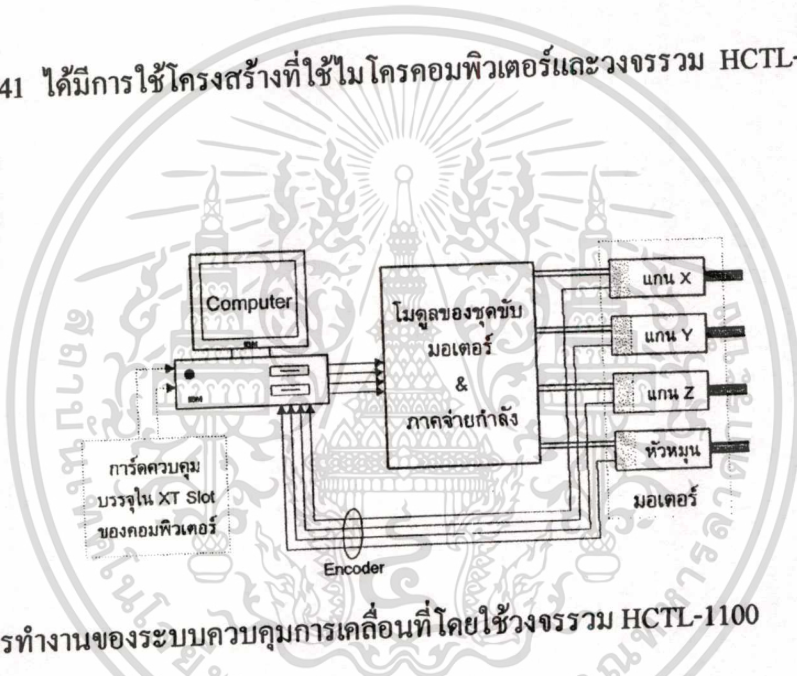
ในปี พ.ศ. 2540 มีงานวิจัยทางด้านเครื่องจักรซีเอ็นซี [5] เริ่มมีการใช้ การ์ดควบคุมสำเร็จรูป PMD5650 โดยมีโครงสร้างการใช้งานดัง รูปที่2.8 และในปีนี้ได้มีพัฒนาทางด้านโปรแกรม คอมพิวเตอร์เพื่อนำข้อมูลภาพจากการออกแบบมาควบคุมการเคลื่อนที่ 2 แกน [19]



รูปที่ 2.8 การทำงานของระบบควบคุมการเคลื่อนที่โดยใช้การ์ดควบคุมสำเร็จรูป PMD5650

ในปี พ.ศ.2541 ได้มีการใช้โครงสร้างที่ใช้ไมโครคอมพิวเตอร์และวงจรรวม HCTL-1100 ดังรูปที่

2.9



รูปที่ 2.9 การทำงานของระบบควบคุมการเคลื่อนที่โดยใช้วงจรรวม HCTL-1100

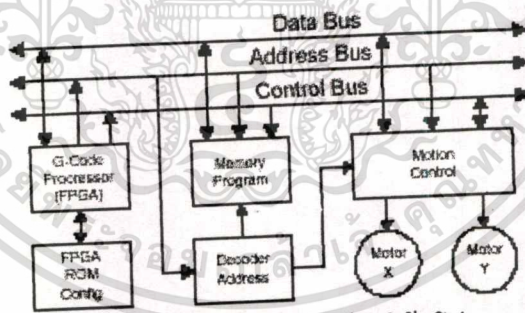
จากงานวิจัยทั้งในประเทศ และ ต่างประเทศ เพื่อสร้างเครื่องจักรซีเอ็นซีนั้น มีงานจำเป็นหลักอย่างหนึ่งของระบบคือ การรับคำสั่งจากผู้ใช้งานเพื่อบ่งบอกความต้องการ ซึ่งได้มีการกำหนดชุดคำสั่ง จี-โค้ด เพื่อเป็นตัวกลางในสื่อสารกันระหว่างผู้ใช้งานกับเครื่องจักรซีเอ็นซี โดยงานวิจัย [13-15] ใช้หลักการ FSM หรือ HFSM ในการแปลงคำสั่ง จี-โค้ด ส่วนงานวิจัยที่ใช้เครื่องไมโครคอมพิวเตอร์ [1-5][7][16-20] ได้ใช้โปรแกรมที่ทำงานบนเครื่องไมโครคอมพิวเตอร์ในการแปลงคำสั่ง จี-โค้ด แล้วส่งให้ส่วนควบคุมการเคลื่อนที่ทำงาน โดยมีโครงสร้างทั้งเป็น DSP, HCTL-1000, HCTL-1100 หรือ PMD5650 เพื่อทำการควบคุมเครื่องจักรต่อไป

ได้มีการสำรวจแนวทางของการใช้โปรเซสเซอร์และวงจรรวมดิจิทัลที่เกี่ยวข้องกับงานทางด้านควบคุมการเคลื่อนที่ [21] โดยในส่วนแรกของการสำรวจได้กล่าวถึงการใช้อย่างมีประสิทธิภาพของไมโครโปรเซสเซอร์และวงจรรวมดิจิทัลเช่นตัวประมวลผลสัญญาณดิจิทัล, ไมโครคอนโทรลเลอร์

เอกสารนี้เป็นเอกสารที่สงวนไว้สำหรับการใช้งานเพื่อการศึกษาเท่านั้น ไม่อนุญาตให้นำไปใช้ประโยชน์ด้านการค้าไม่ว่ากรณีใดๆทั้งสิ้น อีกทั้งห้ามมิให้ตัดแปลงเนื้อหา และต้องอ้างอิงถึงเจ้าของเอกสารทุกครั้งที่มีการนำไปใช้

และรวมถึงการออกแบบวงจรเฉพาะทาง เพื่อนำมาประยุกต์ใช้งานทางด้านการควบคุมการเคลื่อนที่ รวมถึงได้กล่าวถึงแนวทางในการพัฒนาในอนาคตของโปรเซสเซอร์ที่ใช้ในงานควบคุมการเคลื่อนที่ โดยเป็นการรวมความสามารถในการทำงานต่างๆของระบบการควบคุมการเคลื่อนที่ให้อยู่ในโปรเซสเซอร์ตัวเดียวเพื่อสะดวกในการใช้งานมากขึ้น

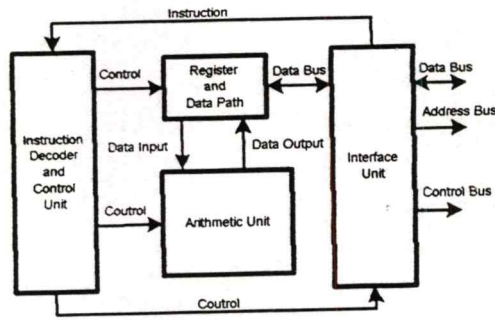
ในระยะหลังในการเขียนชุดคำสั่ง จี-โค้ด เพื่อตั้งงานเครื่องจักรซีเอ็นซีนั้น ได้มีการใช้โปรแกรมคอมพิวเตอร์ช่วยออกแบบ (CAD/CAM) เป็นตัวสร้างชุดคำสั่งแทนการเขียนของคน ซึ่งผลลัพธ์ของโปรแกรมช่วยออกแบบนี้ยังเป็นคำสั่ง จี-โค้ด แต่เป็นคำสั่งที่ไม่หลากหลาย เหมือนในอดีตที่ใช้คนในการเขียนคำสั่ง โดยคำสั่งส่วนใหญ่ประกอบไปด้วย คำสั่ง G00, G01, G02 และ G03 ซึ่งเป็นคำสั่งพื้นฐานในการบอกลักษณะการเคลื่อนที่ของเครื่องจักรซีเอ็นซี ดังนั้นในงานวิจัยนี้ได้นำเสนอแนวทางการสร้างหน่วยประมวลผลเฉพาะทาง จี-โค้ด โปรเซสเซอร์ เพื่อทำการแปลงชุดคำสั่ง จี-โค้ด โดยรองรับชุดคำสั่งที่สร้างจาก โปรแกรมคอมพิวเตอร์ช่วยในการออกแบบ ตัดส่วนที่เป็นความสามารถในการสื่อสารกับผู้ใช้ลง ด้วยเหตุนี้ส่งผลทำให้สามารถลดขนาดของระบบโดยไม่จำเป็นต้องใช้ไมโครคอมพิวเตอร์ [1-5][7][16-20] และลดความยากในการออกแบบระบบเครื่องจักรซีเอ็นซี [13-15] ทำให้ผู้พัฒนาระบบเครื่องจักรซีเอ็นซี สะดวกและรวดเร็วขึ้น เป็นทางเลือกในการพัฒนาระบบที่ไม่ได้รองรับคำสั่งจากผู้ใช้งานโดยตรง แต่เป็นการรับคำสั่งจากโปรแกรมคอมพิวเตอร์ช่วยออกแบบแทน ซึ่งได้แสดงโครงสร้างการใช้งานของ จี-โค้ด โปรเซสเซอร์ ดังรูปที่ 2.10



รูปที่ 2.10 การทำงานของระบบเครื่องจักรซีเอ็นซี โดยใช้ จี-โค้ด โปรเซสเซอร์

จากรูปที่ 2.10 เป็นการสร้าง จี-โค้ด โปรเซสเซอร์ โดยการใช้ FPGA แล้วนำไปต่อกับส่วนของหน่วยความจำที่ใช้ในการเก็บคำสั่ง จี-โค้ด และ ส่วนควบคุมการเคลื่อนที่ ซึ่งหน่วยความจำที่ใช้เก็บคำสั่ง จี-โค้ด นี้อาจออกแบบให้เป็น ROM หรือ หน่วยความจำแบบ 2 ทาง (Dual Ported Ram) ทั้งหน่วยความจำและส่วนควบคุมการเคลื่อนที่ที่จะต่ออยู่บนบัสระบบเดียวกันแต่จะถูกแยกออกจากกันโดยใช้วงจร Decoder Address

2.3 โครงสร้างของการทำงาน จี-โค้ดโปรเซสเซอร์



รูปที่ 2.11 โครงสร้างสถาปัตยกรรม จี-โค้ด โปรเซสเซอร์

โครงสร้างของ จี-โค้ดโปรเซสเซอร์ตามรูปที่ 2.11 การทำงานส่วนใหญ่จะเหมือนกับโปรเซสเซอร์ทั่วไป แต่การคำนวณในส่วนของ Arithmetic Unit จะมีการคำนวณที่ซับซ้อนกว่ารองรับชุดคำสั่งแบ่งเป็น 2 ชุดคือชุดคำสั่งที่ใช้ในการเคลื่อนย้ายข้อมูล เช่น Mov XI,100 และชุดคำสั่งในการคำนวณหาค่าเช่น G00, G02 และ G03 ดังนั้นจากคำสั่ง จี-โค้ด เช่น G00 X10 Y10 ซึ่งแสดงถึงคำสั่งในการเคลื่อนที่จากตำแหน่งปัจจุบันไปอยู่ที่ตำแหน่ง $X = 10$ และ $Y = 10$ เทียบได้ตามตารางที่ 2.1

ตารางที่ 2.1 เปรียบเทียบคำสั่ง จี-โค้ด กับชุดคำสั่งของ จี-โค้ด โปรเซสเซอร์

คำสั่ง จี-โค้ด	คำสั่งของ จี-โค้ด โปรเซสเซอร์
G00 X0 Y0	Mov XI,0
	Mov YJ,0
	G00
G02 X100 Y100 I50 J50	Mov XI,50
	Mov YJ,50
	Mov Dz,XX (Compiler Calculate)
	Mov N,XX (Compiler Calculate)
	G02

การทำงานของรูปที่ 2.11 เป็นโครงสร้างหลักของ จี-โค้ดโปรเซสเซอร์ ระบบนี้เริ่มการทำงานจากการถูก Reset หลังจากนั้นวงจรควบคุมภายใน ตั้งให้ส่วนเชื่อมต่อกับภายนอก อ่านคำสั่งเข้ามาจากหน่วยความจำ หน่วยควบคุมภายในทำการตีความหมายและทำตามคำสั่งนั้นๆ ถ้าเป็นคำสั่งที่ไม่ต้องการการคำนวณก็เป็นการทำงาน โอนถ่ายค่าในส่วนของรีจิสเตอร์อย่างเดียว แต่ถ้าคำสั่งที่รับเข้ามามีการประมวลผลก็จะใช้หน่วยคำนวณผลทำงานด้วย เมื่อทำเสร็จก็ทำการอ่านคำสั่งใหม่เข้ามาจากหน่วยความจำอีกครั้งหนึ่ง อีกทั้งห้ามมิให้ดัดแปลงเนื้อหา และต้องอ้างอิงถึงเจ้าของเอกสารทุกครั้งที่มีการนำไปใช้

จากการทำงานดังกล่าว คอรัลคัลคูลอรีทิม ได้ถูกมาใช้ในการแก้ปัญหาชุดคำสั่งที่ใช้ในการคำนวณการเคลื่อนที่ ซึ่งการทำงานในส่วนของคุณค่าสั่งการคำนวณการเคลื่อนที่นี้เป็นการคำนวณทางคณิตศาสตร์ที่ใช้แก่สมการการแตกแกนของเวกเตอร์อินพุต ให้อยู่ในรูปของเวกเตอร์ในแนวแกนนอนและแนวแกนตั้ง โดยสมการการแตกแกนของเวกเตอร์นี้เพื่อแก่สมการแล้ว จำเป็นต้องใช้ ฟังก์ชัน $\text{Sin}()$, $\text{Cos}()$ และ $\text{Tan}^{-1}()$ ดังนั้น คอรัลคัลคูลอรีทิม ที่มีคุณสมบัติในการคำนวณหาค่าของฟังก์ชัน $\text{Sin}()$, $\text{Cos}()$ และ $\text{Tan}^{-1}()$ และมีคุณสมบัติที่สามารถนำมาสร้างเป็นวงจรดิจิทัลได้ง่าย จึงถูกนำมาใช้ในงานวิจัยนี้ โดยใช้ในส่วนของคุณค่าสั่งการประมวลผล ซึ่งได้กล่าวไว้ในส่วนต่อไป

2.4 ส่วนการทำงานต่างๆของ จี-โค้ด โปรเซสเซอร์

ในการทำงานของ จี-โค้ด โปรเซสเซอร์แบบออกได้เป็น 4 ส่วน 1) วงจรในการประมวลผล (Arithmetic Unit) เปรียบเทียบได้กับ ALU (Arithmetic and Logic Unit) 2) วงจรในการควบคุมภายใน (Control Unit) 3) ส่วนของการเก็บข้อมูล และเส้นทางของข้อมูล (Register and Data Path) และ 4) ส่วนของการเชื่อมต่อกับอุปกรณ์ภายนอก (Interface)

2.4.1 การทำงานของส่วนประมวลผล

การทำงานของ Arithmetic Unit แบ่งการทำงานเป็น 2 ส่วน ส่วนแรกเป็นการคำนวณการเคลื่อนที่ในแบบเส้นตรง (Linear Interpolation) โดยมีอินพุตเป็นตำแหน่งปลายทางในการเคลื่อนที่ อัตราเร็วและอัตราเร่ง โดยมีเอาต์พุตเป็นค่าของความเร็วและความเร่ง ในส่วนที่ 2 เป็นการคำนวณการเคลื่อนที่ในแบบเส้นโค้งส่วนของวงกลม (Circular Interpolation) โดยรับค่ามุมกับจุดศูนย์กลางเพื่อคำนวณหาค่าตำแหน่งต่อไปในการประมาณค่า แล้วนำค่าตำแหน่งที่คำนวณนี้ส่งให้การทำงานในส่วนแรกเพื่อหาค่า ความเร็วและความเร่ง [5][7] โดยแสดงรายละเอียดในบทที่ 4

2.4.2 การทำงานของส่วนควบคุมภายใน

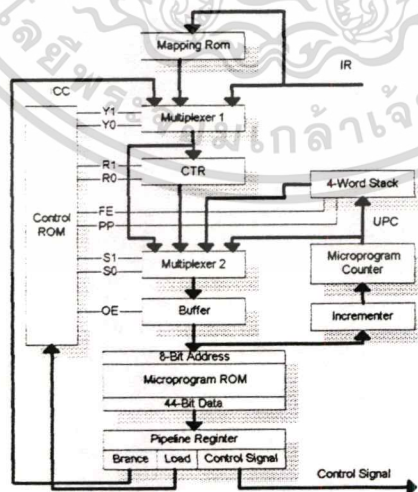
การทำงานในส่วนนี้เป็นการสร้างสัญญาณควบคุมภายในของ โปรเซสเซอร์ ทั้งหมดโดยอาศัยหลักการ ไมโครโปรแกรม [12] ซึ่งงานนี้ได้ออกแบบวงจรเพื่อรองรับชุดคำสั่งไมโครโปรแกรมจำนวน 16 คำสั่งตามตารางที่ 2.2

ตารางที่ 2.2 ชุดคำสั่งไมโครโปรแกรมของ Control Unit

OpCode/ Mnemonic	Name	Description
0000. JZ	Jump Zero	กระโดดไปตำแหน่ง 0 เพื่อทำการอ่านคำสั่งใหม่
0001. CJS	Condition Jump Subroutine	ตรวจสอบบิต CC ตัดสินใจเรียกโปรแกรมย่อย หรือทำงานตำแหน่งต่อไป
0010. JMAP	Jump Map	กระโดดตามค่าใน Mapping Rom
0011. CJP	Condition Jump PL	ตรวจสอบบิต CC ตัดสินใจกระโดดตาม PL หรือทำงานตำแหน่งต่อไป
0100. PUSH	Push & Conditional Load CTR	เก็บค่า μ PC ลง Stack และ นำค่า PL ไปให้กับ CTR
0101. JSRP	Jump Subroutine CTR/PL	ตรวจสอบบิต CC ตัดสินใจเรียกโปรแกรมย่อยตาม PL หรือเรียกโปรแกรมย่อยตาม CTR
0110. CJV	Conditional Jump Vector	ตรวจสอบบิต CC ตัดสินใจกระโดดตามชุดคำสั่งที่เข้ามา หรือ ทำงานตำแหน่งต่อไป
0111. JRP	Conditional Jump CTR/PL	ตรวจสอบบิต CC ตัดสินใจกระโดดไปตำแหน่ง CTR หรือ ทำงานตำแหน่ง PL
1000. RFCT	Repeat Loop CTR $\neq 0$	ตรวจสอบบิต CTR ตัดสินใจกระโดดไปตำแหน่ง Top Stack หรือ ทำงานตำแหน่งต่อไป
1001. RPCT	Repeat PL CTR $\neq 0$	ตรวจสอบบิต CTR ตัดสินใจกระโดดไปตำแหน่ง PL หรือ ทำงานตำแหน่งต่อไป
1010. CRTX	Conditional Return	ตรวจสอบบิต CC ตัดสินใจ Pop Stack แล้วกระโดดไปตำแหน่ง Top Stack หรือ ทำงานตำแหน่งต่อไป
1011. CJPP	Conditional Jump PL and POP	ตรวจสอบบิต CC ตัดสินใจทำการ Pop Stack แล้วกระโดดไปตำแหน่ง PL หรือ ทำงานตำแหน่งต่อไป
1100. LDCT	Load CTR and Continue	ใส่ค่า PL ให้กับ CTR
1101. LOOP	Test End Loop	ตรวจสอบบิต CC ตัดสินใจกระโดดไปตำแหน่ง Top Stack หรือ ทำงานตำแหน่งต่อไป
1110. CONT	Continue	ทำงานในตำแหน่งต่อไป
1111. TWB	Three-Way Branch	ตรวจสอบบิต CC ตัดสินใจ ทำการ Pop Stack แล้วกระโดดไปตำแหน่ง Top Stack หรือ กระโดดไปตำแหน่ง PL

* CTR = Counter Register, PL = Pipeline Register

โครงสร้างของส่วนควบคุมภายใน



รูปที่ 2.12 โครงสร้างของส่วนควบคุมภายใน

จากรูปที่ 2.12 เป็นโครงสร้างของหน่วยควบคุมภายในประกอบด้วยส่วนต่างๆดังต่อไปนี้

เอกสารนี้เป็นเอกสารที่สงวนไว้สำหรับการใช้งานเพื่อการศึกษาเท่านั้น ไม่อนุญาตให้นำไปใช้ประโยชน์ด้านการค้า ไม่ว่าจะกรณีใดๆทั้งสิ้น อีกทั้งห้ามมิให้ตัดแปลงเนื้อหา และต้องอ้างอิงถึงเจ้าของเอกสารทุกครั้งที่มีการนำไปใช้

1) Mapping Rom เป็นรอมที่ใช้ในการแปลง Instruction ให้เป็นตำแหน่งที่เก็บชุดคำสั่ง ไมโครโปรแกรม เพื่อใช้ทำงานกับคำสั่งที่เข้ามานั้นๆ

2) Multiplexer1 เป็นตัวเลือกข้อมูล เพื่อส่งให้ CTR และ Multiplexer2

3) Counter Register (CTR) เป็นวงจรนับการวนรอบต่างๆ

4) Multiplexer2 เป็นตัวเลือกข้อมูลจาก Multiplexer1, CTR, 4-Word Stack หรือ μ PC เพื่อส่งให้ Buffer

5) Buffer เป็นรีจิสเตอร์ที่ใช้ในการเก็บค่าเพื่ออ้างแอดเดรสให้กับ μ ROM

6) Microprogram ROM (μ ROM)เป็นส่วนที่เก็บไมโครโปรแกรมต่างๆ ซึ่งจะเป็นชุดคำสั่งที่ได้จากการเรียงของคำสั่งในตารางที่ 1 ซึ่งที่แอดเดรส 0 เป็น ไมโครโปรแกรมที่ทำงานอ่านข้อมูลคำสั่งจากภายนอก

7) Pipeline Register (PL) เป็นรีจิสเตอร์ข้อมูลที่ได้จาก μ ROM ซึ่งข้อมูลจะประกอบด้วยข้อมูล 3 ส่วน คือ Load ประกอบด้วยค่า 4 บิต เป็น OpCode ตามตารางที่ 1 เพื่อเป็นโปรแกรมในการทำงาน, Branch เป็นข้อมูลที่ใช้ในกรณีที่มีการกระโดดของไมโครโปรแกรม และ Control Signal เป็นสัญญาณควบคุมภายในของโปรเซสเซอร์ทั้งหมด

8) Incrementer เป็นวงจรที่ใช้ในการบวกค่าของอินพุตขึ้นไปอีก 1

9) Microprogram Counter (μ PC)เป็นตัวกำหนดตำแหน่งของไมโครโปรแกรมที่กำลังทำงานอยู่ในขณะนั้น

10) 4-Word Stack เป็นรีจิสเตอร์ขนาด 4 ไบต์ เพื่อทำงานในส่วนของ การ Push, Pop, การเรียกโปรแกรมย่อย

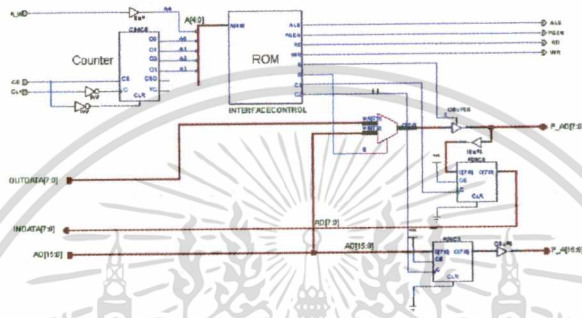
11) Control Rom เป็นตัวสร้างสัญญาณควบคุมการทำงานของ Control Unit โดยมีอินพุตเป็น OpCode ที่ได้จาก PL และ CC เพื่อสร้างสัญญาณ ในการควบคุมต่างๆ

การทำงานจะเริ่มจากการที่ ระบบถูก Reset ค่าของ Buffer มีค่าเป็น 0 ทำให้ μ ROM ถูกอ้างที่ตำแหน่ง 0 ซึ่งเป็นชุดคำสั่งไมโครโปรแกรมเพื่อทำงานดึงคำสั่งจากภายนอก หลังจากที่ได้อ่านคำสั่งภายนอกมาไว้ใน IR แล้ว ก็จะเริ่มทำตามคำสั่งใหม่ที่ดึงเข้ามานี้โดยส่งผ่านไป Mapping ROM เพื่อกำหนดตำแหน่งของชุดคำสั่งที่อยู่ μ ROM โดยชุดคำสั่งที่เก็บอยู่ในตำแหน่งที่อ้างนี้จะ เป็นไมโครโปรแกรมที่ทำงานตามคำสั่งที่ดึงเข้ามานั้น เมื่อเสร็จแล้วก็กระโดดไปที่ μ ROM ในตำแหน่ง 0 ใหม่เพื่อทำการดึงคำสั่งใหม่เข้ามาทำงาน

2.4.3 การทำงานของส่วนเชื่อมต่ออุปกรณ์ภายนอก

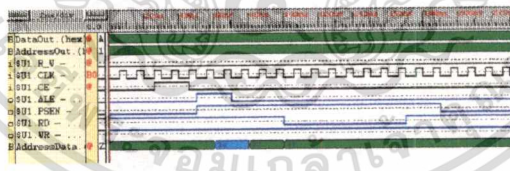
วงจรในส่วนนี้เป็นการสร้างสัญญาณเพื่อนำออกไปควบคุมอุปกรณ์ภายนอกโดยนำเสนองาน ออกแบบให้ สัญญาณต่างๆ เหมือนกับโปรเซสเซอร์ Intel MCS 51 มีขาสัญญาณ บัสแอดเดรส ไม่ว่าจะเป็นอินพุตหรือเอาต์พุต หรือสัญญาณเพื่อการสื่อสารอื่น ๆ เมื่อผู้จัดทำไปใช้ระบบอื่น การค้า ไม่ว่าจะกรณีใดๆทั้งสิ้น อีกทั้งห้ามมิให้ดัดแปลงเนื้อหา และต้องอ้างอิงถึงเจ้าของเอกสารทุกครั้งที่มีการนำไปใช้

ขนาด 16 บิต, บัสดัชนีข้อมูลขนาด 8 บิต ซ้อนทับอยู่บน บัสแอดเดรส, สัญญาณ ALE, สัญญาณ PSEN, สัญญาณ WR และสัญญาณ RD โดยมีอินพุตคือ สัญญาณ R/W, สัญญาณ Clock และสัญญาณ CE เป็นสัญญาณควบคุม โดยในการออกแบบได้ใช้รวมในการสร้างสัญญาณทั้งรูปแบบในการอ่านและรูปแบบในการเขียนโดยใช้สัญญาณ R/W ในการเลือกว่าใช้รูปแบบการอ่านหรือรูปแบบการเขียน สัญญาณ CE เป็นตัวปิดวงจรนับเพื่อสร้างค่า แอดเดรสที่เพิ่มขึ้นให้กลับรอมแล้วนำ ข้อมูลที่ได้จากรอมออกมาเป็นสัญญาณเอาต์พุตต่างๆ และข้อมูลอีกส่วนหนึ่งก็นำมาเป็นสัญญาณในการควบคุมภายใน ตามรูปที่ 2.13

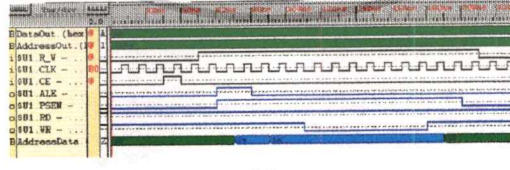


รูปที่ 2.13 วงจรการทำงานในส่วนเชื่อมต่อกับอุปกรณ์ภายนอก

วงจรในการเชื่อมต่อกับอุปกรณ์ภายนอกจะแบ่งออกเป็นสองส่วนคือการอ่านข้อมูลจากอุปกรณ์ภายนอก และการเขียนข้อมูลไปยังอุปกรณ์ภายนอก ทดลองทาง Function Diagram ได้ผลการทำงานตามรูปที่ 2.14



(a)



(b)

รูปที่ 2.14 (a) เป็นสัญญาณในการอ่านค่าจากอุปกรณ์ภายนอก

(b) เป็นสัญญาณในการเขียนอุปกรณ์ภายนอก

จากรูปที่ 2.14 สัญญาณที่เกิดขึ้นทั้งการอ่านและการเขียนจะเริ่มจากเกิดสัญญาณ CE เป็นตัวเริ่มต้น หลังจากนั้นเอาต์พุตจะสร้างสัญญาณ ALE เพื่อให้อุปกรณ์ภายนอกรู้ว่าค่าแอดเดรส ได้ถูกส่งออกมาที่บัส หลังจากนั้นสัญญาณ WR จะทำงานถ้าเป็นกรณีที่ต้องการเขียนข้อมูลไปยังอุปกรณ์

เอกลศาสตร์ที่... ไม่ว่ากรณีใดๆทั้งสิ้น อีกทั้งห้ามมิให้ตัดแปลงเนื้อหา และต้องอ้างอิงถึงเจ้าของเอกสารทุกครั้งที่มีการนำไปใช้

ภายนอกแล้วจึงส่งข้อมูลที่ต้องการเขียนไปยังอุปกรณ์ภายนอกโดยใช้ยั้งบัสแอดเดรสคาต้า แต่ถ้าในกรณีอ่านค่าจากอุปกรณ์ภายนอก สัญญาณ RD จะทำงานแล้วจึงทำการอ่านข้อมูลจากบัสแอดเดรสคาต้า

2.4.4 การทำงานหน่วยเก็บข้อมูลและเส้นทางข้อมูล

วงจรการทำงานในส่วนนี้เป็นส่วนที่เชื่อมต่อกับส่วนต่างๆเข้าด้วยกันรวมถึงการจัดเก็บข้อมูลเพื่อใช้ในการคำนวณและเก็บผลลัพธ์ที่ได้ ซึ่งรีจิสเตอร์ที่สำคัญใน จี-โค้ด โปรเซสเซอร์ มีดังนี้

1) XI เป็นรีจิสเตอร์ที่เก็บค่าของ ตำแหน่งปลายทางตามแกน X ในการคำนวณการเคลื่อนที่เป็นเส้นตรง และใช้เป็นค่าจุดศูนย์กลางแนวแกน X ในการคำนวณการเคลื่อนเป็นเส้นโค้งส่วนของวงกลม

2) YJ เป็นรีจิสเตอร์ที่ทำงานเหมือน XI แต่จะเก็บข้อมูลในแนวแกน Y

3) Vmax เป็นรีจิสเตอร์ ที่เก็บค่าอัตราเร็วเพื่อใช้ในการคำนวณ

4) Amax เป็นรีจิสเตอร์ ที่เก็บค่าอัตราเร่ง

5) Dz เป็นรีจิสเตอร์ที่ใช้เก็บค่าของมุมที่ใช้ในการคำนวณตาม สมการที่ (3)

6) N เป็นรีจิสเตอร์ที่ใช้เก็บค่าการ วนรอบคำนวณการเคลื่อนที่เป็นเส้นโค้งส่วนของวงกลม

7) X0 เป็นรีจิสเตอร์เก็บค่าของตำแหน่งต่อไปที่คำนวณได้ในแนวแกน X

8) Y0 เป็นรีจิสเตอร์เก็บค่าของตำแหน่งต่อไปที่คำนวณได้ในแนวแกน Y

9) Vx รีจิสเตอร์ที่เก็บค่าอัตราเร็วที่คำนวณได้ ในแนวแกน X

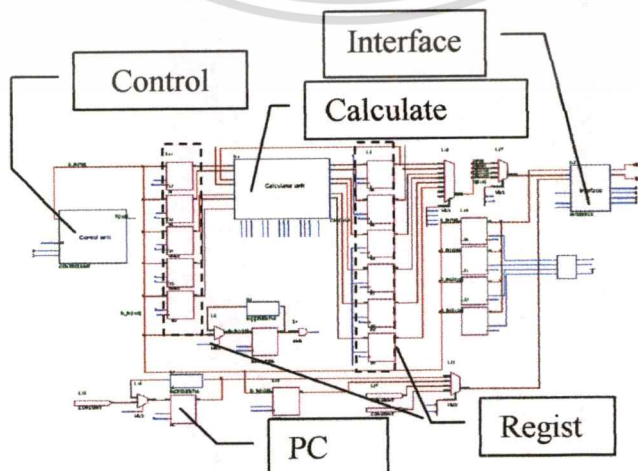
10) Vy รีจิสเตอร์ที่เก็บค่าอัตราเร็วที่คำนวณได้ ในแนวแกน Y

11) Ax รีจิสเตอร์ที่เก็บค่าอัตราเร่ง ในแนวแกน X

12) Ay รีจิสเตอร์ที่เก็บค่าอัตราเร่ง ในแนวแกน Y

13) PC รีจิสเตอร์ เป็น โปรแกรมเค้านเตอร์ของโปรเซสเซอร์

ในส่วนของรีจิสเตอร์ในการเก็บข้อมูลยังมี รีจิสเตอร์ที่ใช้ในการทำงานของ Addressing Mode ต่างๆด้วยซึ่งในงานนี้จะใช้แสดงเป็น Direct Mode เพียงอย่างเดียว โดยมีโครงสร้างตามรูปที่ 2.15



รูปที่ 2.15 โครงสร้างของเส้นทางข้อมูลและส่วนเก็บข้อมูล

เอกสารนี้เป็นเอกสารที่สงวนลิขสิทธิ์ไว้เพื่อใช้ในการศึกษาเท่านั้น ไม่อนุญาตให้นำไปใช้ประโยชน์ด้านการค้า
ไม่ว่ากรณีใดๆทั้งสิ้น อีกทั้งห้ามมิให้ตัดแปลงเนื้อหา และต้องอ้างอิงถึงเจ้าของเอกสารทุกครั้งที่มีการนำไปใช้

2.5 สรุปและแนวทางการวิจัย

ในบทนี้แสดงถึงสถาปัตยกรรม จี-โค้ด โพรเซสเซอร์ เพื่อแก้ไขความไม่เหมาะสมกันระหว่างชุดคำสั่ง จี-โค้ด กับชุดคำสั่งของโพรเซสเซอร์ทั่วไป โดยแสดงโครงสร้างที่มีส่วนสำคัญทั้งหมด 4 ส่วน คือส่วนประมวลผล, ส่วนควบคุมภายใน ที่ใช้หลักการสร้างสัญญาณควบคุมโดยใช้ไมโครโปรแกรม, การแสดงโครงสร้างของหน่วยเก็บข้อมูลกับเส้นทางข้อมูล และ การแสดงวงจรในส่วนเชื่อมต่อกับอุปกรณ์ภายนอก

แนวทางการวิจัย เห็นได้ว่าโครงสร้างของ จี-โค้ด โพรเซสเซอร์ใกล้เคียงกับโพรเซสเซอร์ทั่วไป แต่มีข้อแตกต่างอย่างมากอยู่ที่ส่วนประมวลผล ซึ่งจำเป็นต้องมีการคำนวณที่ซับซ้อนกว่า รวมถึงต้องมีความถูกต้อง สิ่งนี้เป็นสิ่งสำคัญในการวัดประสิทธิภาพของ จี-โค้ด โพรเซสเซอร์ ดังนั้นในการวิจัยได้นำเสนอ หลักการการทำงาน, โครงสร้างของหน่วยประมวลผล, วงจรการทำงาน, การวิเคราะห์ผล และวัดผลทั้งทางด้านความถูกต้อง ความเร็วในการทำงาน



บทที่ 3

การทำงานของ คอร์ดิกอัลกอริทึม

3.1 บทนำ

จากที่ได้กล่าวมาแล้ว ส่วนที่แตกต่างกันมากที่สุดของไมโครโปรเซสเซอร์ กับ จี-โด้คโปรเซสเซอร์ ซึ่งแตกต่างและน่าสนใจในการทำวิจัยคือส่วนของวงจรในการประมวลผลซึ่งในบทนี้กล่าวถึงหลักการทางคณิตศาสตร์และวงจรพื้นฐานเพื่อนำไปสู่การประยุกต์ใช้ แก้ปัญหาส่วนของวงจรประมวลผลของ จี-โด้คโปรเซสเซอร์

3.2 หลักการของ CORDIC (COordinate Rotation Digital Computing)

หลักการการทำงานของคอร์ดิก (CORDIC) [8-11] เป็นหลักการที่เกิดจาก คณิตศาสตร์ พื้นฐานที่ใช้การหมุนเวกเตอร์ เพื่อหาค่าผลลัพธ์ ซึ่งหลักการนี้เป็นหลักการที่เหมาะสมกับการนำมาใช้กับการคำนวณในคอมพิวเตอร์เป็นอย่างมาก เนื่องจากหลักการของคอร์ดิก สดุดท้ายในการคำนวณใช้แค่การบวกและการเลื่อนค่าข้อมูล ส่งผลให้สามารถนำไปสร้างเป็นวงจรทางอิเล็กทรอนิกส์ ได้ง่ายด้วย

$$\begin{aligned}x_{i+1} &= k_m(x_i - m\sigma_i 2^{-S(m,i)} y_i) \\y_{i+1} &= k_m(y_i + \sigma_i 2^{-S(m,i)} x_i) \\z_{i+1} &= z_i - \sigma_i \alpha_{m,i}\end{aligned}\dots\dots(3.1)$$

$$\sigma_i = \text{sign}(z_i) \quad \text{OR} \quad \sigma_i = -\text{sign}(y_i)\dots\dots(3.2)$$

$$\alpha_{m,i} = \frac{1}{\sqrt{m}} \tan^{-1}(\sqrt{m} 2^{-S(m,i)}) = \begin{cases} \tan^{-1}(2^{-S(m,i)}) & ; m = 1 \\ 2^{-S(m,i)} & ; m = 0 \\ \tanh^{-1}(2^{-S(m,i)}) & ; m = -1 \end{cases}\dots\dots(3.3)$$

สมการที่ 3.1 เป็นสมการ พื้นฐานของคอร์ดิก โดยมีความหมายต่อไปนี่ x, y และ z มีค่าตามตารางที่ 3.1 แสดงถึงอินพุต และ เอาท์พุต ของระบบ, m มีค่าเป็น {-1,0,1} เพื่อกำหนดระบบการทำงานของคอร์ดิก ว่าเป็นการทำงานในรูปแบบโคตามตารางที่ 3.1, σ_i มีค่าเป็น{-1,1}เพื่อกำหนดทิศทางของการหมุนเป็นไปตามสมการที่ 3.2, $s(m,i)$ มีค่าตามตารางที่ 3.3 เป็นการเลื่อนบิตในรูปแบบของเลขฐาน 2, $\alpha(m,i)$ มีค่าตามสมการที่ 3.3 เป็นตัวปรับเปลี่ยนแปลงขนาดของมุมในการหมุน และมีการคำนวณค่าไม่ว่ากรณีใดๆทั้งสิ้น อีกทั้งห้ามมิให้ตัดแปลงเนื้อหา และต้องอ้างอิงถึงเจ้าของเอกสารทุกครั้งที่มีการนำไปใช้

เป็นค่านับจำนวนรอบในการคำนวณค่า สมการที่ 3.1 นี้เริ่มการทำงานจากการใส่ค่าอินพุต x_0, y_0 และ z_0 หลังจากนั้นทำการวนลูปเปลี่ยนค่า i จาก 0 ไปจนถึงค่า n โดยผลลัพธ์ที่ได้จากการทำงานนี้จะขึ้นกับ การเลือกค่า m และการเลือกใช้งานค่าของ σ_i ซึ่งถ้า $\sigma_i = \text{sign}(z_i)$ ส่งผลทำให้ $z_n \rightarrow 0$ ส่วนถ้าใช้ $\sigma_i = -\text{sign}(y_i)$ ส่งผลทำให้ $y_n \rightarrow 0$ ซึ่งผลลัพธ์ของการทำงานทั้งหมดแสดงตามตารางที่ 3.1

ตารางที่ 3.1 การทำงานรูปแบบต่างๆของคอร์ดิก

	$z_n \rightarrow 0$ (การหมุนเวกเตอร์(CR))	$y_n \rightarrow 0$ (การแปลงเวกเตอร์(CV))
$m = -1$	$x_n = k_{-1}(x_0 \cosh(z_0) + y_0 \sinh(z_0))$ $y_n = k_{-1}(y_0 \cosh(z_0) + x_0 \sinh(z_0))$ $z_n = 0$	$x_n = k_{-1}\sqrt{x_0^2 + y_0^2}$ $y_n = 0$ $z_n = z_0 + \tanh^{-1}(y_0/x_0)$
$m = 0$	$x_n = x_0$ $y_n = y_0 + z_0 x_0$ $z_n = 0$	$x_n = x_0$ $y_n = 0$ $z_n = z_0 + y_0/x_0$
$m = 1$	$x_n = k_1(x_0 \cos(z_0) - y_0 \sin(z_0))$ $y_n = k_1(y_0 \cos(z_0) + x_0 \sin(z_0))$ $z_n = 0$	$x_n = k_1\sqrt{x_0^2 + y_0^2}$ $y_n = 0$ $z_n = z_0 \tan^{-1}(y_0/x_0)$

จากตารางที่ 3.1 การทำงานของคอร์ดิก แบบการทำงานออกเป็นสองรูปแบบคือการหมุนเวกเตอร์ (Rotation) และการแปลงเวกเตอร์ (Vectoring) โดยใช้ค่าของ m เป็นตัวเลือกรายละเอียดของการทำงาน อย่างไรก็ตามค่าที่อยู่ในตารางที่ 3.1 บางค่ายังคิดค่าคงที่ k_m อยู่ดังนั้นจึงนำตารางที่ 3.1 มาปรับปรุงค่าโดยปรับปรุงเฉพาะค่าของ x_n และค่าของ y_n โดยใช้สมการที่ 3.4 และ สมการที่ 3.5

$$\begin{aligned} x_{j+1} &= x_j + \gamma(m, j)2^{-\tau(m, j)} x_j \\ y_{j+1} &= y_j + \gamma(m, j)2^{-\tau(m, j)} y_j \end{aligned} \quad \dots\dots(3.4)$$

$$\begin{aligned} \gamma(m, j) &= \text{sign}(a(m, j)) \\ \tau(m, j) &= |a(m, j)| \end{aligned} \quad \dots\dots(3.5)$$

ทำการปรับปรุงค่าโดยการกำหนดให้ $x_j = x_n$ และ $y_j = y_n$ เมื่อ $j = 0$ เพื่อนำไปกำหนดค่าเริ่มต้น

ของสมการที่ 3.4 ทำการวนลูปค่า j เท่า 0 จนถึง N สรุปการทำงานของสมการที่ 3.1 และสมการ

ไม่ว่ากรณีใดๆทั้งสิ้น อีกทั้งห้ามมิให้ตัดแปลงเนื้อหา และต้องอ้างอิงถึงเจ้าของเอกสารทุกครั้งที่มีการนำไปใช้

ที่ 3.4 ได้ผลลัพธ์ตามตารางที่ 3.2

ตารางที่ 3.2 การทำงานรูปแบบต่างๆของคอร์ดิค หลังการปรับปรุ่ค่าแล้ว

	การหมุนเวกเตอร์(CR)	การแปลงเวกเตอร์(CV)
$m = -1$	$x = x_0 \cosh(z_0) + y_0 \sinh(z_0)$ $y = y_0 \cosh(z_0) + x_0 \sinh(z_0)$ $z = 0$	$x = \sqrt{x_0^2 + y_0^2}$ $y = 0$ $z = z_0 + \tanh^{-1}(y_0/x_0)$
$m = 0$	$x = x_0$ $y = y_0 + z_0 x_0$ $z = 0$	$x = x_0$ $y = 0$ $z = z_0 + y_0/x_0$
$m = 1$	$x = x_0 \cos(z_0) - y_0 \sin(z_0)$ $y = y_0 \cos(z_0) + x_0 \sin(z_0)$ $z = 0$	$x = \sqrt{x_0^2 + y_0^2}$ $y = 0$ $z = z_0 \tan^{-1}(y_0/x_0)$

จากสมการที่ 3.1 และสมการที่ 3.4 มีค่าคงที่ยังไม่ทราบค่าอีกสองตัวคือ $s(m, i)$ และ $a(m, j)$ ซึ่งค่าดังกล่าวนี้จะมีผลกับความถูกต้องของการคำนวณซึ่งมีตัวอย่างของค่า [11] ตามตารางที่ 3.3a และตารางที่ 3.3b ตามลำดับ

ตารางที่ 3.3 ค่าคงที่ใช้ในสมการของคอร์ดิค

i	$S(m, i)$	i	$S(m, i)$	i	$S(m, i)$	i	$S(m, i)$	i	$S(m, i)$	i	$S(m, i)$
1	1	6	3	11	7	16	12	21	16	26	21
2	2	7	4	12	8	17	13	22	17	27	22
3	2	8	5	13	9	18	13	23	18	28	23
4	2	9	6	14	10	19	14	24	19	29	24
5	2	10	6	15	11	20	15	25	20	-	-

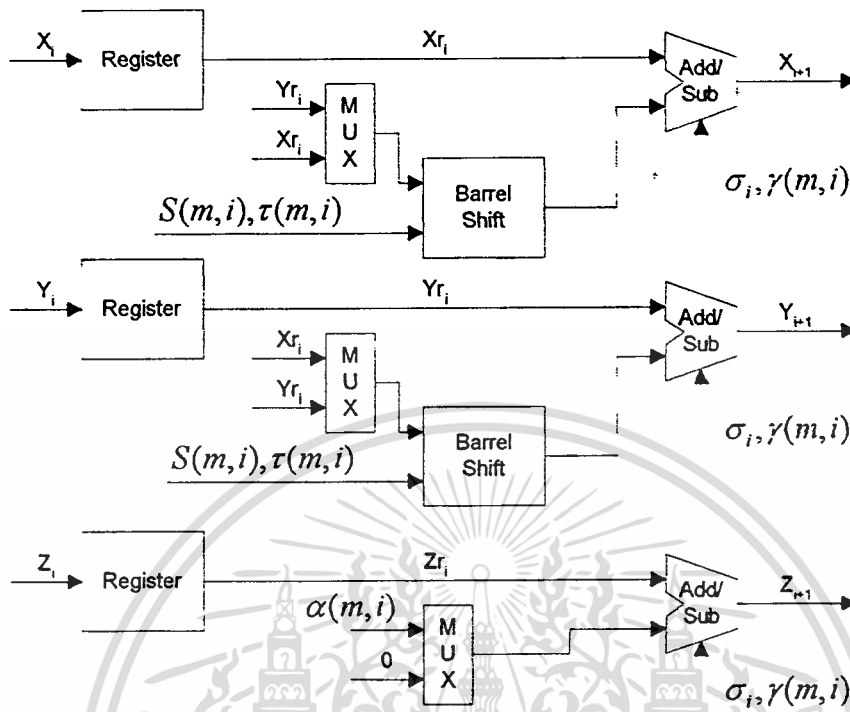
(a)

m	$a(m, 1)$	$a(m, 2)$	$a(m, 3)$	$a(m, 4)$	$a(m, 5)$	$a(m, 6)$	$a(m, 7)$	$a(m, 8)$
1	-2	4	-5	6	0	17	-20	0
0	0	0	0	0	0	0	0	0
-1	2	4	0	6	-6	0	-20	-21

(b)

เอกสารนี้เป็นเอกสารที่สงวนไว้สำหรับการใช้งานเพื่อการศึกษาเท่านั้น ไม่อนุญาตให้นำไปใช้ประโยชน์ด้านการค้า ไม่ว่าจะกรณีใดๆทั้งสิ้น อีกทั้งห้ามมิให้คัดแปลงเนื้อหา และต้องอ้างอิงถึงเจ้าของเอกสารทุกครั้งที่มีการนำไปใช้

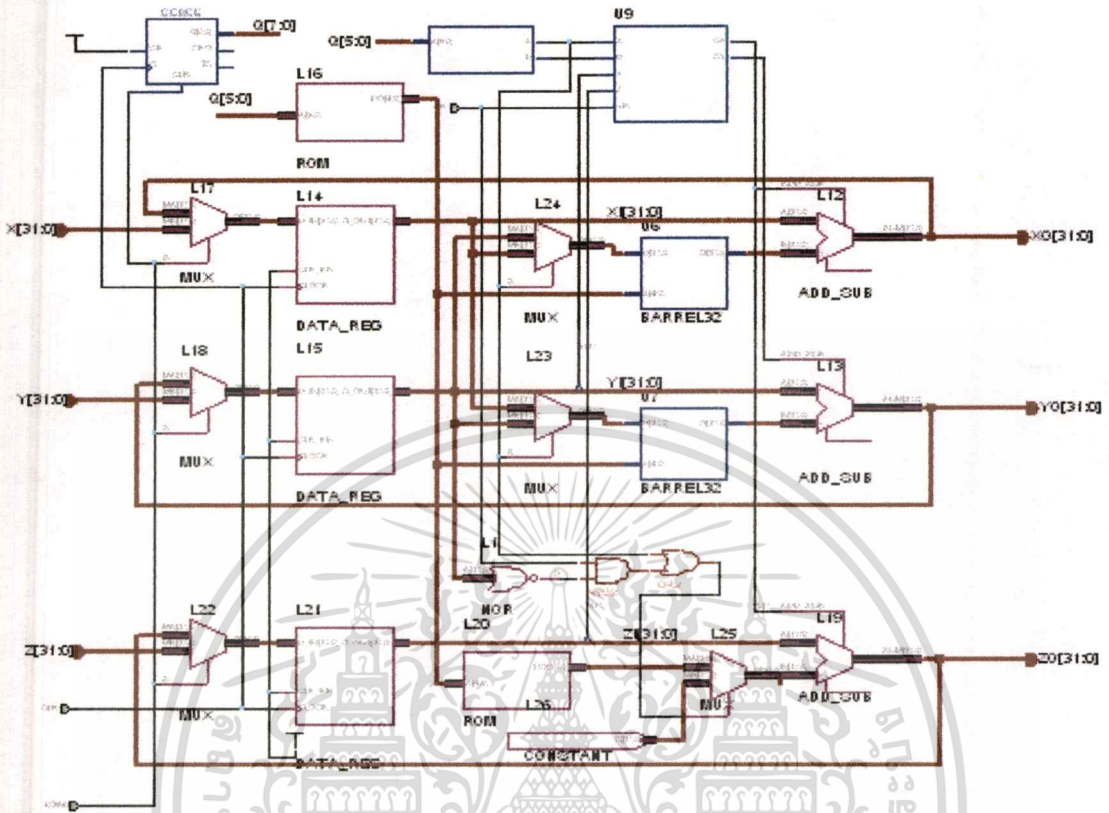
3.3 โครงสร้างการทำงานของ Block Diagram พื้นฐาน ของ คอร์ดิก



รูปที่ 3.1 Block Diagram CORDIC

จาก รูปที่ 3.1 เป็นโครงสร้างพื้นฐานเริ่มจากการกำหนดค่า $i = 0$ กำหนดค่า m ตามรูปแบบการทำงานที่ต้องการ และกำหนดให้วงจร MUX เลือกค่าข้อมูลด้านบนเป็นเอาต์พุต ซึ่งทั้งหมดเป็นค่าเริ่มต้นในการทำงาน โดยมีค่า x_0 , y_0 และ z_0 เป็นค่าอินพุตของระบบ นำค่าอินพุตเก็บไว้ในตัว Register ทำให้เกิดค่า x_{r0} , y_{r0} และ z_{r0} จากนั้นนำค่า x_{r0} ไปบวกหรือลบกับค่า $y_{r0} 2^{-S(m,0)}$ ที่ได้จาก Barrel Shift โดยกำหนดการทำงานเป็นบวกหรือลบได้จาก σ_i ตามสมการที่ 3.2 จากการทำงานข้างต้นสามารถนำไปประยุกต์ใช้กับการทำงานเช่นเดียวกันในส่วนของ y ซึ่งค่าผลลัพธ์มีค่าเป็น $y_1' = y_{r0} + \sigma_0 x_{r0} 2^{-S(m,0)}$, $x_1 = x_{r0} - \sigma_0 y_{r0} 2^{-S(m,0)}$ และในส่วนของ z ได้ค่าผลลัพธ์เป็น $z_1 = z_0 - \sigma_0 \alpha(m,0)$ ในขั้นตอนต่อไปนำค่า $i = 1$ นำค่า x_1 , y_1 และ z_1 ไปเป็น อินพุตของระบบเพื่อหาค่า x_2 , y_2 และ z_2 ทำการวนรอบเป็นจำนวน n รอบ ผลลัพธ์ที่ได้จะเป็นไปตามตารางที่ 3.1 เพื่อปรับปรุงค่าจากตารางที่ 3.1 ให้ได้ค่าตามตารางที่ 3.2 โดยกำหนดให้วงจร MUX เลือกข้อมูลด้านล่างเป็นเอาต์พุต, Barrel Shift ใช้ข้อมูล $\tau(m, j)$ เป็นค่าที่ใช้กำหนดการเลื่อนบิตข้อมูล และการกำหนดค่าการบวกหรือลบให้ค่าของ $\gamma(m, j)$ ทำการวนรอบกำหนดค่า $j = 0$ ถึง N ค่าของเอาต์พุตของการทำงานนี้เป็นค่าตามตารางที่ 3.2

3.4 การทำงานของ วงจรคอร์ดิค



รูปที่ 3.2 วงจรคอร์ดิค

รูปที่ 3.2 เป็นวงจรของคอร์ดิค ซึ่งมีวงจรสำคัญคือ วงจร Register, Adder and Subtractor, Multiplex, ROM และวงจร Barrel shift

3.5 การปรับปรุงการคำนวณค่าคอร์ดิค

ในการคำนวณค่าของคอร์ดิค ที่ผ่านมา อินพุตของระบบยังไม่รองรับค่าที่เป็นไปได้ทั้งหมด โดยยอมรับค่าแวกเตอร์ (x_0, y_0) ที่อยู่ในช่วง $\pi/2$ ถึง $-\pi/2$ เท่านั้น ดังนั้นเพื่อให้การคำนวณตอบสนองทุกค่าที่เป็นไปได้ จึงได้มีการกำหนดการทำงานของ วงจรในส่วน PreCORDIC และ วงจรในส่วน PostCORDIC [9] โดยมีหลักการทำงานดังต่อไปนี้

3.5.1 การทำงานของวงจร PreCORDIC

การทำงานของวงจร PreCORDIC มีค่าอินพุต เป็นค่าของแวกเตอร์ (x_i, y_i) ใดๆ และมีค่าเอาต์พุตเป็นค่า $f1, f2$ และค่า (x_o, y_o)

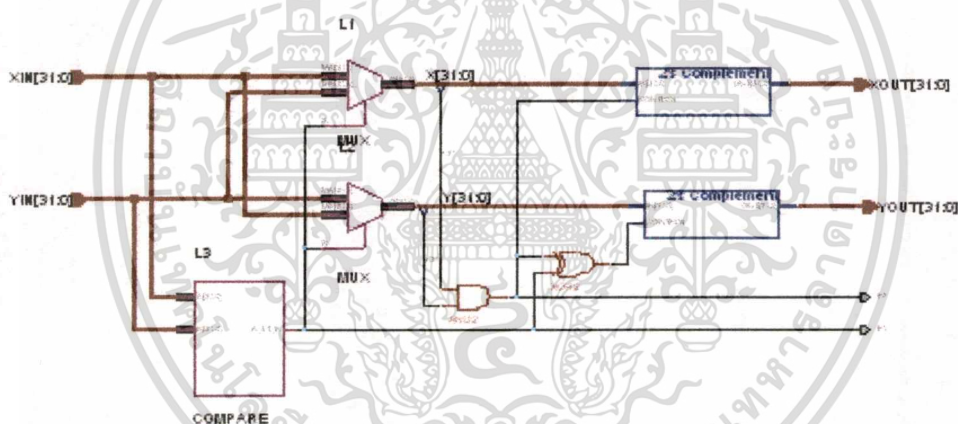
เอกสารนี้เป็นเอกสารที่สงวนไว้สำหรับการใช้งานเพื่อการศึกษาเท่านั้น ไม่อนุญาตให้นำไปใช้ประโยชน์ด้านการค้า ไม่ว่าจะกรณีใดๆทั้งสิ้น อีกทั้งห้ามมิให้ตัดแปลงเนื้อหา และต้องอ้างอิงถึงเจ้าของเอกสารทุกครั้งที่มีการนำไปใช้

```

If  $y_i \geq x_i$ 
   $f1 = 1$ ;  $x_m = y_i$ ;  $y_m = -x_i$ ;
else
   $f1 = 0$ ;  $x_m = x_i$ ;  $y_m = y_i$ ;
end
if  $\text{sign}(x_m) == -1$ 
   $f2 = 1$ ;  $x_o = -x_m$ ;  $y_o = -y_m$ ;
else
   $f2 = 0$ ;  $x_o = x_m$ ;  $y_o = y_m$ ;
end

```

จากขั้นตอนการทำงานด้านบนนำมาสร้างเป็นวงจรได้ตามรูปที่ 3.3



รูปที่ 3.3 วงจร PreCORDIC

รูปที่ 3.3 เมื่อมีอินพุตเวกเตอร์ (x_i, y_i) เข้ามาในระบบ หลังจากนั้น ทำการเปรียบเทียบค่าทั้งสองเพื่อที่หาค่าของ $f1$ ซึ่งค่าของ $f1$ นี้ถูกส่งไปให้วงจร MUX เพื่อกำหนดการเปลี่ยนค่ากันระหว่างค่า y กับค่าของ x หลังจากนั้นนำเอาเครื่องหมายของทั้งสองมาคำนวณเพื่อกำหนดการทำงานของ วงจร 2's Complement เพื่อหาค่าของ (x_o, y_o)

3.5.2 การทำงานของวงจร PostCORDIC

การทำงานของวงจร PostCORDIC มีค่าอินพุต เป็นค่าของเวกเตอร์ (x_i, y_i) และค่า $f1, f2$ มีค่าเอาต์พุตเป็นค่า (x_o, y_o)

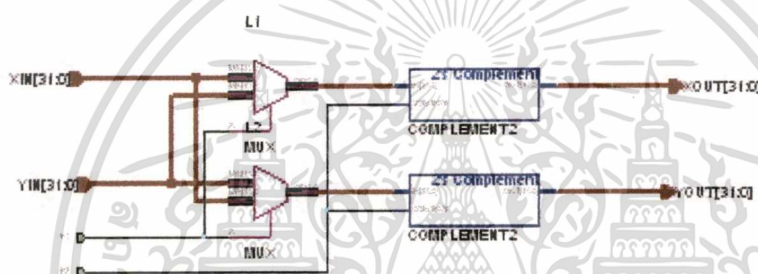
เอกสารนี้เป็นเอกสารที่สงวนไว้สำหรับการใช้งานเพื่อการศึกษาเท่านั้น ไม่อนุญาตให้นำไปใช้ประโยชน์ด้านการค้า ไม่ว่าจะกรณีใดๆทั้งสิ้น อีกทั้งห้ามมิให้ดัดแปลงเนื้อหา และต้องอ้างอิงถึงเจ้าของเอกสารทุกครั้งที่มีการนำไปใช้

```

if f1 == 1
    xm = -yi; ym = xi;
else
    xm = xi; ym = yi;
end
if f2 == 1
    xo = -xm; yo = -ym;
else
    xo = xm; yo = ym;
end

```

จากขั้นตอนการทำงานด้านบนนำมาสร้างเป็นวงจรได้ตามรูปที่ 3.4



รูปที่ 3.4 วงจร PostCORDIC

รูปที่ 3.4 เมื่อมีอินพุต $f1$, $f2$ และ เวกเตอร์ (x_i, y_i) เข้ามาในระบบ $f1$ ถูกส่งสัญญาณให้กับ วงจร MUX เพื่อกำหนดการเปลี่ยนค่ากันระหว่างค่า y กับค่าของ x ส่วนค่า $f2$ นำมากำหนดค่าการ ทำงานของ วงจร 2's Complement เพื่อหาค่าของ (x_o, y_o)

3.6 สรุป

ในบทนี้ได้แสดงหลักการของคอร์ดิค เพื่อใช้ในการคำนวณค่าของ ฟังก์ชัน $\text{Cos}()$, $\text{Sin}()$, $\text{Tan}^{-1}()$ และ $\text{Sqrt}()$ ซึ่งหลักการดังกล่าวประกอบไปด้วยวงจรพื้นฐาน Register, Adder and Subtactor, Multiplax, ROM และวงจร Barral shift ทำให้สามารถนำหลักการคอร์ดิคมาสร้างเป็น วงจรดิจิทัลได้ แต่อย่างไรก็ตามหลักการของคอร์ดิค ตอบสนองการทำงานในช่วง $\pi/2$ ถึง $-\pi/2$ ซึ่งยังไม่พอบ้างที่ใช้งานวิจัยนี้ จึงต้องใช้หลักการ PreCORDIC และ PostCORDIC เพื่อช่วย ขยายช่วงการตอบสนองของหลักการคอร์ดิค ทำให้ตอบสนองค่าในช่วงที่กว้างขึ้นคืออยู่ในช่วง π ถึง $-\pi$ ซึ่งหลักการทั้ง คอร์ดิค, PreCORDIC และ PosCORDIC ได้นำมาประยุกต์ใช้ในบทต่อไป เพื่อสร้างส่วนประมวลผลของ จี-โค้ดโปรเซสเซอร์

เอกสารนี้เป็นเอกสารที่สงวนไว้สำหรับการใช้งานเพื่อการศึกษาเท่านั้น ไม่อนุญาตให้นำไปใช้ประโยชน์ด้านการค้า ไม่ว่าจะกรณีใดๆทั้งสิ้น อีกทั้งห้ามมิให้ตัดแปลงเนื้อหา และต้องอ้างอิงถึงเจ้าของเอกสารทุกครั้งที่มีการนำไปใช้

บทที่ 4

การคำนวณค่าของหน่วยประมวลผลใน จี-โค้ดโปรเซสเซอร์

4.1 บทนำ

ในบทนี้กล่าวถึงหลักการใหม่ในการต่อวงจรร่วมกันของวงจรที่สร้างจาก คอร์ดิก อัลกอริทึม เพื่อใช้แก่สมการของหน่วยประมวลผล จี-โค้ดโปรเซสเซอร์ โดยนำวงจรที่สร้างจาก คอร์ดิกอัลกอริทึมนี้มาต่อเรียงลำดับกับเพื่อแก่สมการให้เป็นไปตามรูปแบบการคำนวณที่ จี-โค้ดโปรเซสเซอร์ต้องการ ซึ่งวิธีการต่อวงจรเรียงลำดับกันนี้เป็นการประยุกต์จากหลักการของการต่อวงจรรวมกันของคอร์ดิกอัลกอริทึม ที่ได้ถูกใช้แก้ปัญหาสมการทางด้านอื่น [7-11] มาแล้ว

4.2 สมการหน่วยประมวลผลของ จี-โค้ดโปรเซสเซอร์

การทำงานในส่วนของหน่วยประมวลผลเพื่อทำงานชุดคำสั่ง G00, G01, G02 และ G03 แบ่งการทำงานเป็น 2 ส่วน ส่วนแรก G00 และ G01 เป็นการคำนวณการเคลื่อนที่ในแบบเส้นตรง (Linear Interpolation) โดยมีอินพุตเป็นตำแหน่งปลายทางในการเคลื่อน อัตราเร็วและอัตราเร่ง และมีเอาต์พุตเป็นค่าของความเร็วและความเร่ง ในส่วนที่ 2 G02 และ G03 เป็นการคำนวณการเคลื่อนที่ในแบบเส้นโค้งส่วนของวงกลม (Circular Interpolation) โดยรับค่ามุม $\Delta\theta$ กับจุดศูนย์กลาง เพื่อคำนวณหาตำแหน่งต่อไปในการประมาณค่า แล้วนำตำแหน่งที่คำนวณได้นี้ส่งให้การทำงานในส่วนแรกเพื่อหาค่า ความเร็วและความเร่ง [5][7]

4.2.1 การคำนวณทางคณิตศาสตร์

การคำนวณในการเคลื่อนที่เป็นเส้นตรง (Linear Interpolation) หรือคำสั่ง G00 และ G01 เป็นไปตามสมการที่ 4.1 และสมการที่ 4.2 กำหนดให้ $T_{min} = 2V_{max}/A_{max}$, V_{max} เป็นอัตราเร็วในแนวการเคลื่อนที่, V_x ความเร็วในแนวแกน X, V_y ความเร็วในแนวแกน Y, A_x เป็นค่าความเร่งในแนวแกน X, A_y เป็นค่าความเร่งในแนวแกน Y, A_{max} เป็นค่าอัตราเร่ง, (X_0, Y_0) ตำแหน่งเริ่มต้นการเคลื่อนที่ และ (X_1, Y_1) ตำแหน่งปลายทาง

$$V_x = \frac{V_{max}(X_1 - X_0)}{\sqrt{(X_1 - X_0)^2 + (Y_1 - Y_0)^2}} \quad V_y = \frac{V_{max}(Y_1 - Y_0)}{\sqrt{(X_1 - X_0)^2 + (Y_1 - Y_0)^2}}$$

$$A_x = \frac{0.5 \cdot A_{max}(X_1 - X_0)}{\sqrt{(X_1 - X_0)^2 + (Y_1 - Y_0)^2}} \quad A_y = \frac{0.5 \cdot A_{max}(Y_1 - Y_0)}{\sqrt{(X_1 - X_0)^2 + (Y_1 - Y_0)^2}} \quad (4.1)$$

เอกสารนี้เป็นเอกสารที่สงวนไว้สำหรับใช้ในงานเพื่อการศึกษาดูงาน ไม่อนุญาตให้นำไปเผยแพร่ (4.1) การคำนวณ

ไม่ว่ากรณีใดๆทั้งสิ้น อีกทั้งห้ามมิให้คัดลอกเนื้อหา และต้องอ้างอิงถึงเจ้าของเอกสารทุกครั้งที่มีการนำไปใช้

เขียนสมการที่ 4.1 ให้อยู่ในรูป ฟังก์ชัน Sin(), Cos() ได้ในสมการที่ 4.2

$$\theta = \tan^{-1} \frac{Y_1 - Y_0}{X_1 - X_0}$$

$$V_x = V_{max} \cdot \cos(\theta) \quad V_y = V_{max} \cdot \sin(\theta)$$

$$A_x = 0.5 \cdot A_{max} \cdot \cos(\theta); \quad A_y = 0.5 \cdot A_{max} \cdot \sin(\theta)$$

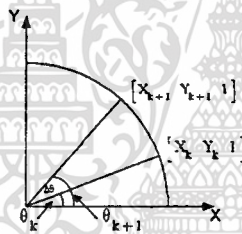
..... (4.2)

การคำนวณในการเคลื่อนที่เป็นเส้นโค้งส่วนของวงกลม (Circular Interpolation) หรือคำสั่ง G02 และ G03 เขียนสมการในการคำนวณหาจุดต่างๆด้วย สมการที่ 4.3 กำหนดให้ (I,J) เป็นจุดศูนย์กลางของวงกลมที่ใช้ในการประมาณค่า, $\Delta\theta$ เป็นมุมที่ใช้ในการประมาณค่าวงกลมด้วยเส้นตรง และ (Xk, Yk) เป็นจุดใดๆบนส่วนโค้ง

$$\begin{bmatrix} X_{k-1} & Y_{k-1} & 1 \end{bmatrix} = \begin{bmatrix} X_k & Y_k & 1 \end{bmatrix} \cdot \begin{bmatrix} 1 & 0 & 0 \\ 0 & 1 & 0 \\ -I & -J & 1 \end{bmatrix} \cdot \begin{bmatrix} \cos\Delta\theta & -\sin\Delta\theta & 0 \\ \sin\Delta\theta & \cos\Delta\theta & 0 \\ 0 & 0 & 1 \end{bmatrix} \cdot \begin{bmatrix} 1 & 0 & 0 \\ 0 & 1 & 0 \\ I & J & 1 \end{bmatrix}$$

$$\theta_{k-1} = \theta_k - \Delta\theta$$

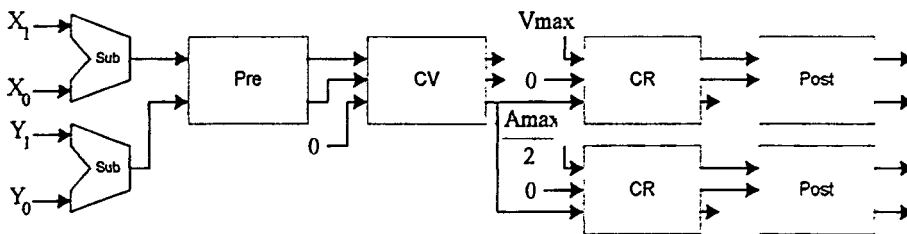
..... (4.3)



รูปที่ 4.1 ค่าต่างๆตามสมการที่ 4.3 เพื่อทำการประมาณเส้นโค้งด้วยเส้นตรง

จากสมการที่ 4.2 และ 4.3 งานวิจัยนี้ได้เลือกใช้หลักการของ คอร์ดิกที่ได้กล่าวถึงในบทที่ 3 [8-11] เพื่อทำการคำนวณหาค่า เนื่องจาก คอร์ดิกใช้วงจรในการทำงานเป็นแค่การบวกค่า(Adder) กับการเลื่อนค่า(Shift) ทำให้ง่ายต่อการออกแบบและพัฒนา

4.2.2 การคำนวณด้วย คอร์ดิกอัลกอริทึม

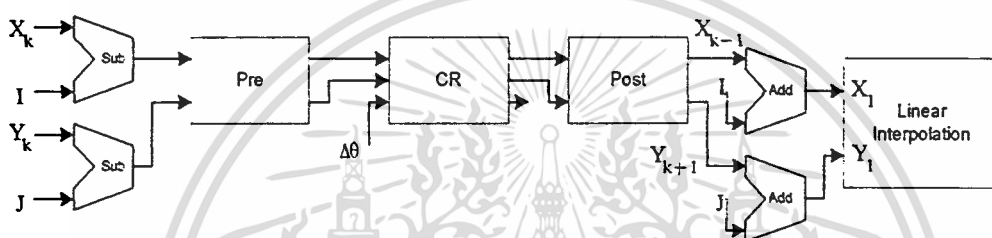


รูปที่ 4.2 หลักการแก้สมการที่ 4.2 ด้วย คอร์ดิกอัลกอริทึม

เอกสารนี้เป็นเอกสารที่สงวนไว้สำหรับการใช้งานเพื่อการศึกษาเท่านั้น ไม่อนุญาตให้นำไปใช้ประโยชน์ด้านการค้า ไม่ว่าจะกรณีใดๆทั้งสิ้น อีกทั้งห้ามมิให้ตัดแปลงเนื้อหา และต้องอ้างอิงถึงเจ้าของเอกสารทุกครั้งที่มีการนำไปใช้

จากรูปที่ 4.2 เป็นการแสดง อัลกอริธึม เพื่อแก้สมการที่ 4.2 โดยมีอินพุต(X_0, Y_0) เป็นค่าของจุดเริ่มต้น, (X_1, Y_1) เป็นค่าของจุดปลายทาง เริ่มจากการหาค่าความแตกต่าง วงจรเลข ปรับค่าที่ได้จากการลบให้อยู่ในช่วง $-\pi/2$ ถึง $\pi/2$ ด้วย Pre(Pre-CORDIC) เพื่อให้อยู่ในช่วงที่ CV(CORDIC Vectoring) ทำงานได้ ผลที่ได้จาก CV จะเป็นค่ามุม θ ตามรูป เมื่อนำ θ ส่งให้ CR(CORDIC Rotation) เพื่อสร้างค่า $\sin(\theta)$, $\cos(\theta)$ มาคูณกับ V_{max} และ $A_{max}/2$ เพื่อหาค่าความเร็วและความเร่ง ทำการปรับค่าที่ได้ให้อยู่ในตำแหน่งที่ถูกต้องด้วย Post(Post-CORDIC)

การนำหลักการ คอร์ดิกมาประมวลผล สมการที่ 4.3 ได้ดัง โครงสร้างรูปที่ 4.3



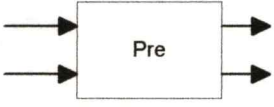
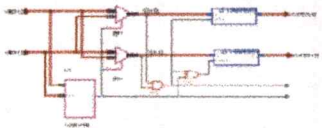
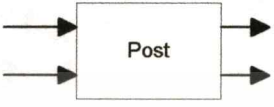
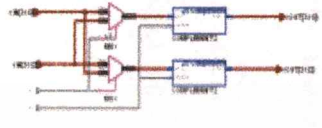
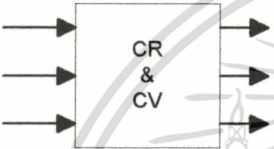
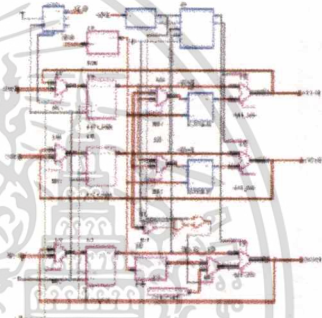
รูปที่ 4.3 การแก้สมการที่ 4.3 ด้วย คอร์ดิกอัลกอริธึม

รูปที่ 4.3 เป็นการแสดง อัลกอริธึมเพื่อแก้สมการที่ 4.3 โดยใช้ค่าอินพุต เป็น (X_k, Y_k) กับ (I, J) เข้ามาในระบบให้ Pre ปรับค่าให้อยู่ในช่วงที่กำหนด ทำการ CR และ Post หมุนตำแหน่ง (X_k, Y_k) ให้เป็น (X_{k+1}, Y_{k+1}) แล้วทำการรวมกับค่า (I, J) หลังจากนั้นส่งค่านี้ไปยัง (X_i, Y_i) ของการคำนวณการเคลื่อนที่แบบเส้นตรงตามสมการที่ 4.2 เพื่อทำการหาค่า ความเร็วและความเร่ง

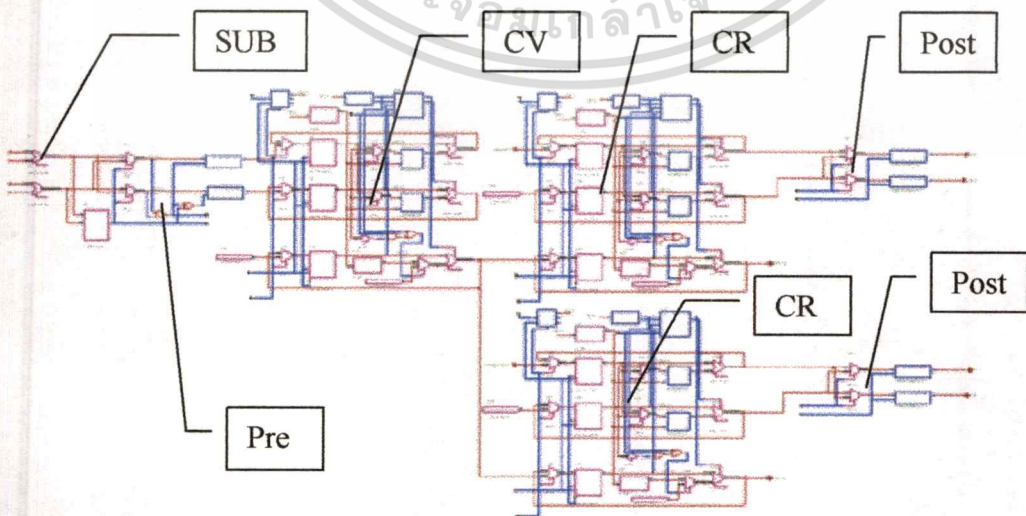
4.3 การสร้างวงจรถ้าสมการหน่วยประมวลผล

ในการสร้างวงจรถ้าสมการที่แสดงตามรูปที่ 4.2 และรูปที่ 4.3 เริ่มจากการแทนส่วนของ Pre, Post, CR และ CV ด้วยวงจรถ้าจิตอลที่แสดงในบทที่ 3 ซึ่งได้สรุปผลการแทนเป็นไปตามตารางที่ 4.1 หลักจากการแทนหลักการในส่วนต่างๆด้วยวงจรถ้าจิตอลแล้ว ทำการเชื่อมต่อบางส่วนในส่วนต่างๆให้เป็นไปตามลำดับที่แสดงในหลักการของการแก้สมการหน่วยประมวลผล จี-โค้ดโปรเซสเซอร์ ผลการแทนวงจรถ้าจิตอลดังรูปที่ 4.4 และรูปที่ 4.5

ตารางที่ 4.1 การแทนส่วนต่างๆของหลักการแก้สมการหน่วยประมวลผลด้วยวงจรถติติตอล

Block Diagram	วงจรถติติตอล
	 <p style="text-align: center;">จากรูปที่ 3.3</p>
	 <p style="text-align: center;">จากรูปที่ 3.4</p>
	 <p style="text-align: center;">จากรูปที่ 3.2</p>

เมื่อพิจารณาหลักการคำนวณการเคลื่อนที่เป็นเส้นตรงตามรูปที่ 4.2 แปรเป็นวงจรถติติตอลแล้ว ได้แสดงดังรูปที่ 4.4

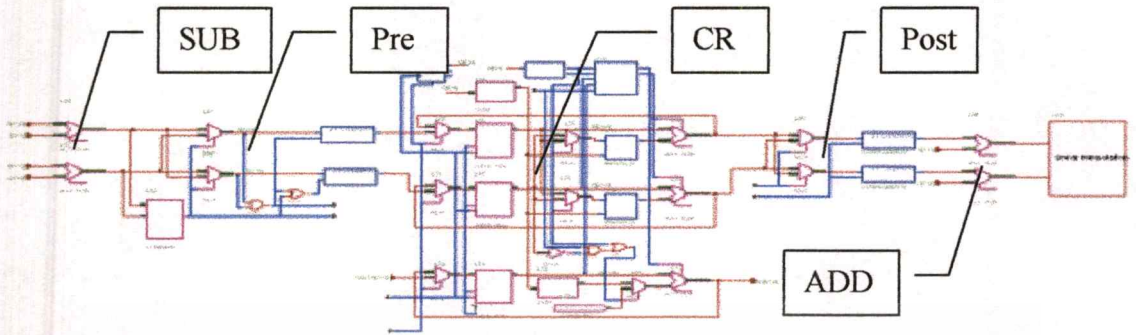


รูปที่ 4.4 วงจรถติติตอลตามหลักการคำนวณการเคลื่อนที่เป็นเส้นตรง

เอกสารนี้เป็นเอกสารที่สงวนไว้สำหรับการใช้งานเพื่อการศึกษาเท่านั้น ไม่อนุญาตให้นำไปใช้ประโยชน์ด้านการค้า

ไม่ว่ากรณีใดๆทั้งสิ้น อีกทั้งห้ามมิให้ตัดแปลงเนื้อหา และต้องอ้างอิงถึงเจ้าของเอกสารทุกครั้งที่มีการนำไปใช้

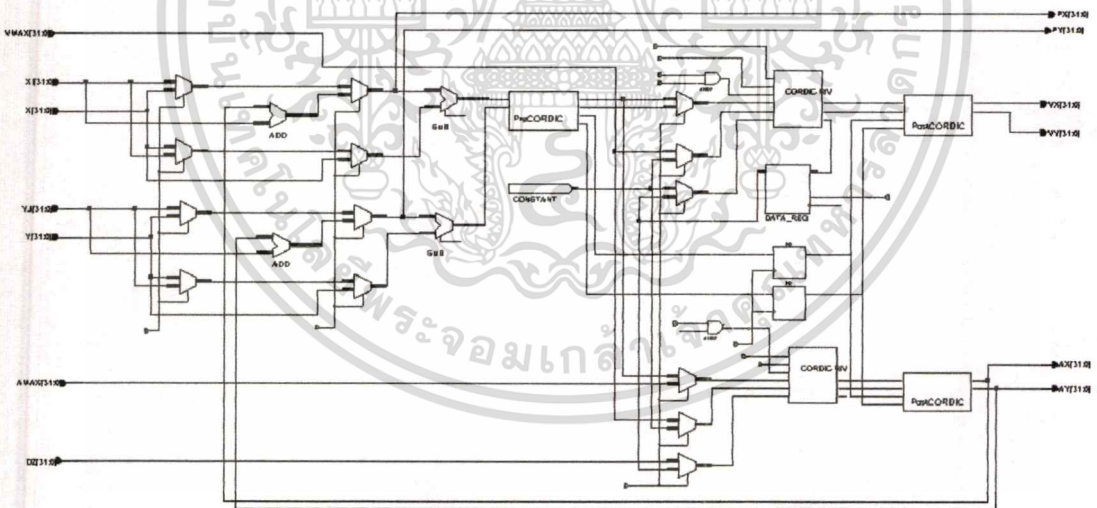
เมื่อพิจารณาหลักการคำนวณการเคลื่อนที่เป็นเส้นโค้งส่วนของวงกลมตามรูปที่ 4.3 แปรเป็นวงจรดิจิทัลแล้วได้แสดงดังรูปที่ 4.5



รูปที่ 4.5 วงจรดิจิทัลตามหลักการคำนวณการเคลื่อนที่เป็นเส้นโค้งส่วนของวงกลม

4.4 โครงสร้างหน่วยประมวลผลที่ใช้หลักการ คอร์ดิกอัลกอริทึม

จากหัวข้อ 4.3 สามารถปรับปรุงโดยการรวมส่วนที่ทำงานซ้ำกันของ การคำนวณการเคลื่อนที่เป็นเส้นตรง (Linear Interpolation) และ การคำนวณการเคลื่อนที่เป็นเส้นโค้งส่วนของวงกลม (Circular Interpolation) สรุปโครงสร้างได้ตามรูปที่ 4.4



รูปที่ 4.6 วงจรหน่วยประมวลผลของ จีโค้ด โปรเซสเซอร์

4.5 สรุป

ในบทนี้ได้กล่าวถึงสมการที่ใช้ในการคำนวณของชุดคำสั่ง G00, G01, G02 และ G03 เพื่อใช้สร้างหน่วยประมวลผลของ จี-โค้ดโปรเซสเซอร์ โดยได้นำเสนอหลักการที่ใช้ คอร์ดิกอัลกอริทึม มาเรียงลำดับ เพื่อแก้สมการของหน่วยประมวลผล จี-โค้ดโปรเซสเซอร์ ซึ่งได้แสดงดังรูปที่ 4.2 และ รูปที่ 4.3 เป็นการคำนวณการเคลื่อนที่เป็นเส้นตรง และการคำนวณการเคลื่อนที่เป็นเส้นโค้ง ส่วนของวงกลม ในบทนี้ยังได้แสดงวิธีการเปลี่ยนการเรียงลำดับของหลักการคอร์ดิกอัลกอริทึม ที่ใช้แก้สมการของหน่วยประมวลผล จี-โค้ดโปรเซสเซอร์ มาให้อยู่ในรูปแบบของวงจรถิจิตอล โดยการแทนวงจรถิจิตอลลงในส่วนต่างๆตามตารางที่ 4.1 และนำส่วนต่างๆมาต่อรวมกันตามลำดับซึ่งได้วงจรแสดงอยู่ในรูปที่ 4.4 และรูปที่ 4.5 หลังจากนั้นได้ปรับปรุงวงจรโดยลดความซ้ำซ้อนและแสดงในรูปที่ 4.6 บทต่อไปเป็นการวิเคราะห์ ผลความถูกต้อง และความเร็วในการทำงาน



บทที่ 5

อุปกรณ์และการทดลอง

5.1 บทนำ

ในบทนี้แสดงการทดสอบ จี-โค้ดโปรเซสเซอร์ โดยการเน้นที่ส่วนของ หน่วยประมวลผล เนื่องจากโครงสร้างการทำงานของส่วนนี้เป็นส่วนที่แตกต่างจาก โครงสร้างการทำงานของ โปรเซสเซอร์อื่นๆมากที่สุด รวมถึงในส่วนนี้ยังเป็นตัวชี้วัดในการแสดงถึงความเร็วในการประมวลผล เนื่องจาก เวลาที่ใช้ในการทำงานส่วนใหญ่ของ จี-โค้ดโปรเซสเซอร์ ขึ้นอยู่กับการทำงานในส่วนนี้ โดยมีการแบ่งการทดสอบผลออกเป็น สองรูปแบบ คือ การทดสอบความถูกต้องของการคำนวณ โดยการจำลองทางคณิตศาสตร์ด้วยโปรแกรม MathLab และการทดลองที่สอง เป็นการทดสอบทางคำนวณการทำงานโดยวัดจำนวนสัญญาณนาฬิกาที่ใช้ในการคำนวณ จากระบบที่ออกแบบ กับค่าที่วัดผลได้จากระบบจริง [7] ที่ทำงานในงานเดียวกัน

5.2 การทดสอบความถูกต้องของการคำนวณทางคณิตศาสตร์

ในขั้นตอนแรกในการออกแบบหน่วยประมวลผล ใน จี-โค้ดโปรเซสเซอร์ผู้วิจัยได้ใช้เครื่องมือทางคณิตศาสตร์คือโปรแกรม MathLab จำลองรูปแบบทางคณิตศาสตร์ ออกเป็นสองรูปแบบเพื่อผลทางการเปรียบเทียบ โดยรูปแบบทางคณิตศาสตร์แรกเป็นสมการที่สร้างขึ้นตามหลักการของ คอร์ดิกอัลกอริธึม ที่ได้กล่าวมาในบทที่ 3 และ บทที่ 4 และในส่วนที่สองเป็นสมการของหน่วยประมวลผลที่สร้างจากสมการพื้นฐาน ซึ่งการสร้างสมการทั้งสองนี้ขึ้นมาเป็นการบ่งบอกความถูกต้องของหลักการในการคำนวณของหน่วยประมวลผล

5.2.1 การจำลองทางคณิตศาสตร์ตามหลักการ คอร์ดิกอัลกอริธึม

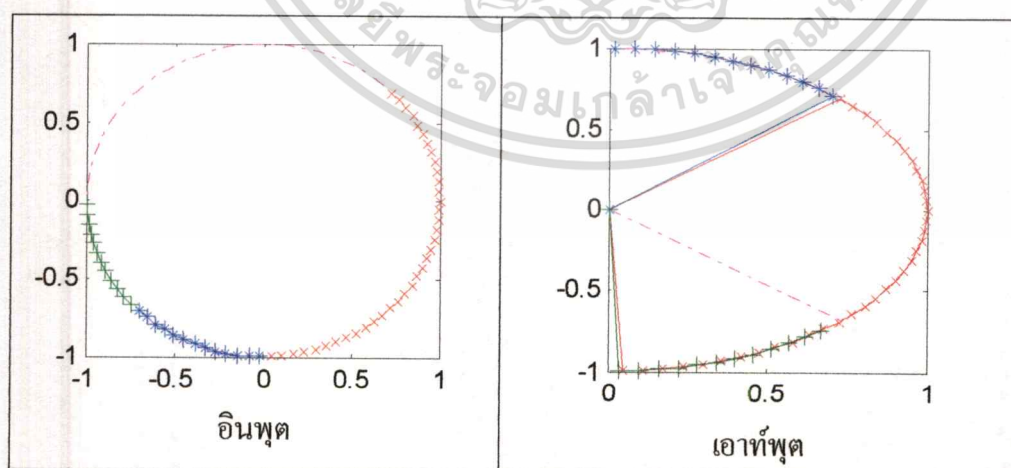
ในการจำลองทางคณิตศาสตร์ตามหลักการ CORDIC อัลกอริธึม เริ่มจากการแบ่งการจำลองออกเป็นสามย่อยๆ คือมีส่วนของ Pre-CORDIC (Pre-Processing CORDIC), CORDIC-R (CORDIC Rotation, CR), CORDIC-V (CORDIC Vectoring, CV) และ ส่วนของ Post-CORDIC (Post-Processing CORDIC) แล้วทำการทดสอบความถูกต้อง หลังจากที่ทำกรจำลองและทดสอบในแต่ละส่วนย่อยๆ แล้ว เริ่มทำการประกอบส่วนย่อยๆ ให้ได้ตามระบบที่ได้นำเสนอในบทที่ 4 ทำการทดสอบผลอีกครั้ง

เอกสารนี้เป็นเอกสารที่สงวนไว้สำหรับการใช้งานเพื่อการศึกษาเท่านั้น ไม่อนุญาตให้นำไปใช้ประโยชน์ด้านการค้า

Pre-CORDIC มีคำสั่งในการจำลองการทำงานดังนี้

```
function [xo,yo,f1,f2]=PreCordic(xi,yi)
xm =0; ym =0;
if yi >= xi
    f1 = 1; xm = yi; ym = -xi;
else
    f1 = 0; xm = xi; ym = yi;
end
if sign(xm) == -1
    f2 = 1; xo = -xm; yo = -ym;
else
    f2 = 0; xo = xm; yo = ym;
end
end;
```

ทำการทดสอบการทำงานโดยใส่ค่า $X_i = \cos(\theta)$ และ $Y_i = \sin(\theta)$ ผลการทดลองทางด้านเอทพุต ค่าที่ได้อยู่ในช่วง $-\frac{\pi}{2}$ ถึง $\frac{\pi}{2}$ โดยมีค่า f1 และ f2 เป็นตัวเก็บข้อมูล ที่ใช้เพื่อเปลี่ยนค่าทางด้านเอทพุต กลับมาเป็นข้อมูลทางด้านอินพุตได้อย่างถูกต้องหลังจากที่ทำการคำนวณเสร็จแล้ว โดยใช้ประกอบกับการทำงานในส่วนของ Post-CORDIC แสดงดังรูปที่ 5.1



รูปที่ 5.1 การทดสอบการทำงานของ Pre-CORDIC

เอกสารนี้เป็นเอกสารที่สงวนไว้สำหรับการใช้งานเพื่อการศึกษาเท่านั้น ไม่อนุญาตให้นำไปใช้ประโยชน์ด้านการค้า
ไม่ว่ากรณีใดๆทั้งสิ้น อีกทั้งห้ามมิให้ตัดแปลงเนื้อหา และต้องอ้างอิงถึงเจ้าของเอกสารทุกครั้งที่มีการนำไปใช้

รูปที่ 5.1 ทางด้านอินพุตเป็นที่ใช้ทดสอบหลักการ Pre-CORDIC โดยมีการกำหนดค่าเพื่อแสดงให้เห็นถึงค่าที่แตกต่างเพื่อช่วยในการแสดงความสัมพันธ์ระหว่างอินพุตและเอาต์พุต โดยไม่มีผลในการคำนวณทางคณิตศาสตร์ ส่วนทางด้านเอาต์พุตเป็นค่าของ X_o และ Y_o และใช้สัญลักษณ์ที่แตกต่างกันของรูป แสดงถึงค่าที่แตกต่างกันของ $f1$ และ $f2$

Post-CORDIC มีคำสั่งในการจำลองการทำงานดังนี้

```
function [xo,yo]=PosCordic(xi,yi,f1,f2)
```

```
  xm =0; ym =0;
```

```
  if f1 == 1;
```

```
    xm = -yi; ym = xi;
```

```
  else
```

```
    xm = xi; ym = yi;
```

```
  end
```

```
  if f2 == 1
```

```
    xo = -xm; yo = -ym;
```

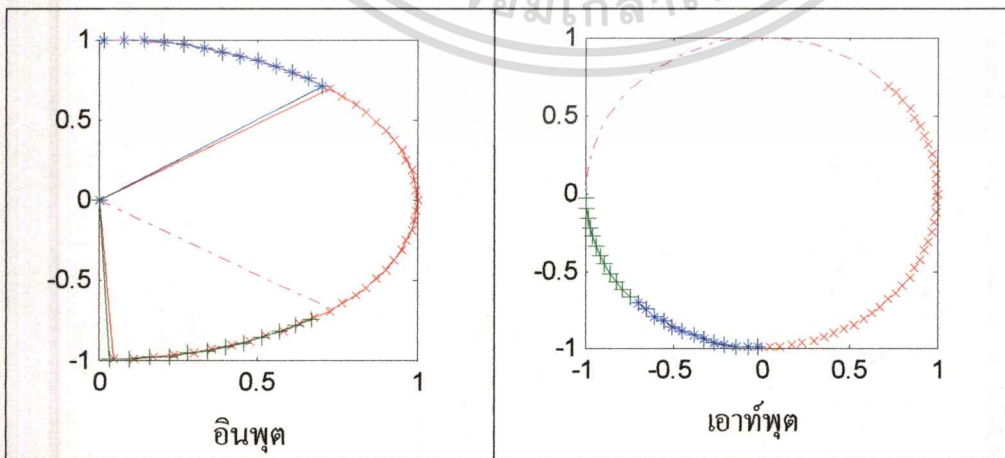
```
  else
```

```
    xo = xm; yo = ym;
```

```
  end
```

```
end;
```

ทำการทดลองการทำงานโดยการนำเอาต์พุตของการทดลอง Pre-CORDIC ทั้งค่า X_o, Y_o , $f1$ และ $f2$ เป็นอินพุตให้การทดลองของ Post-CORDIC เพื่อเป็นการเปลี่ยนค่าข้อมูล X_o, Y_o กลับเป็นค่า X_i, Y_i โดยการใช้ข้อมูล $f1$ และ $f2$ แสดงดังรูปที่ 5.2



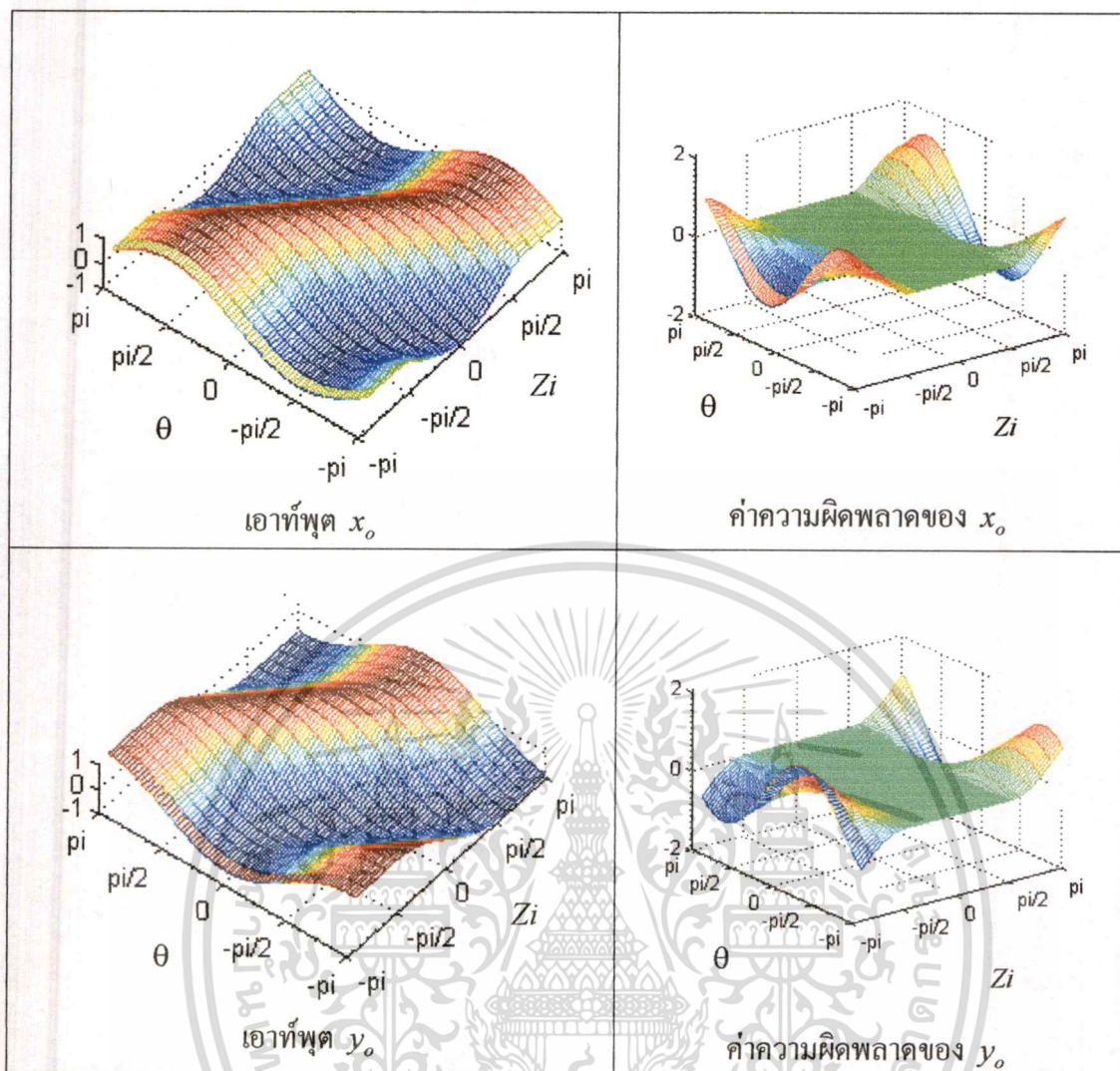
รูปที่ 5.2 การทดลองการทำงานของ Post-CORDIC

เอกสารนี้เป็นเอกสารที่สงวนไว้สำหรับการใช้งานเพื่อการศึกษาเท่านั้น ไม่อนุญาตให้นำไปใช้ประโยชน์ด้านการค้า ไม่ว่าจะกรณีใดๆทั้งสิ้น อีกทั้งห้ามมิให้ตัดแปลงเนื้อหา และต้องอ้างอิงถึงเจ้าของเอกสารทุกครั้งที่มีการนำไปใช้

CORDIC-R มีคำสั่งในการจำลองการทำงานดังนี้

```
function [xo,yo,zo]= CordicR(xi,yi,zi);
s=[1 2 2 2 2 3 4 5 6 6 7 8 9 10 11 12 13 13 14 15 16 17 18 19 20 21 22 23 24];
l=30; r=linspace(0,0,l); x=linspace(0,0,l); y=linspace(0,0,l); z=linspace(0,0,l);
x(1)=xi; y(1)=yi; z(1)=zi;
for i=1:l-1
    c(i)=atan(2^(-s(i))); r(i)=sign(z(i));
    x(i+1)=x(i)-r(i)*2^(-s(i))*y(i);
    y(i+1)=y(i)+r(i)*2^(-s(i))*x(i);
    z(i+1)=z(i)-r(i)*c(i);
end;
xo=CordicScal(x(l)); yo=CordicScal(y(l)); zo=z(l);
end;
function u= CordicScal(a);
s=[-2 4 -5 6 0 17 -20];
l=8; r=linspace(0,0,l); x=linspace(0,0,l); x(1)=a;
for i=1:l-1
    r(i)=sign(s(i));
    x(i+1)=x(i)+r(i)*2^(-abs(s(i)))*x(i);
end;
u=x(l);
end;
```

โปรแกรมด้านบนเป็นโปรแกรมจำลองการคำนวณตามหลักการ CORDIC Rotation เป็นไปตามหลักการในบทที่ 3 โดยค่าเอาร์พุดของหลักการนี้ $x_o = x_i \cos(z_i) - y_i \sin(z_i)$, $y_o = y_i \cos(z_i) + x_i \sin(z_i)$, $z_o = 0$ เพื่อทดสอบความถูกต้องของโปรแกรมจำลองการทำงานตามหลักการ CORDIC Rotation กำหนดให้ $x_i = \cos(\theta)$, $y_i = \sin(\theta)$ โดยกำหนดให้ $-\pi \leq \theta \leq \pi$ และ $-\pi \leq z_i \leq \pi$ เป็นอินพุตของโปรแกรม เอาร์พุดแสดงดังรูป 5.3



รูปที่ 5.3 แสดงเอ้าท์พุทและค่าที่เกิดจากการคำนวณผิดพลาดของ อัลกอริทึม CORDIC-R

CORDIC-V มีคำสั่งในการจำลองการทำงานดังนี้

```
function [xo,yo,zo]= CordicV(xi,yi,zi);
```

```
s=[1 2 2 2 2 3 4 5 6 6 7 8 9 10 11 12 13 13 14 15 16 17 18 19 20 21 22 23 24];
```

```
l=30; r=linspace(0,0,1); x=linspace(0,0,1); y=linspace(0,0,1); z=linspace(0,0,1);
```

```
x(1)=xi; y(1)=yi; z(1)=zi;
```

```
for i=1:l-1
```

```
    c(i)=atan(2^(-s(i))); r(i)=-sign(y(i));
```

```
    x(i+1)=x(i)-r(i)*2^(-s(i))*y(i);
```

```
    y(i+1)=y(i)+r(i)*2^(-s(i))*x(i);
```

```
    z(i+1)=z(i)-r(i)*c(i);
```

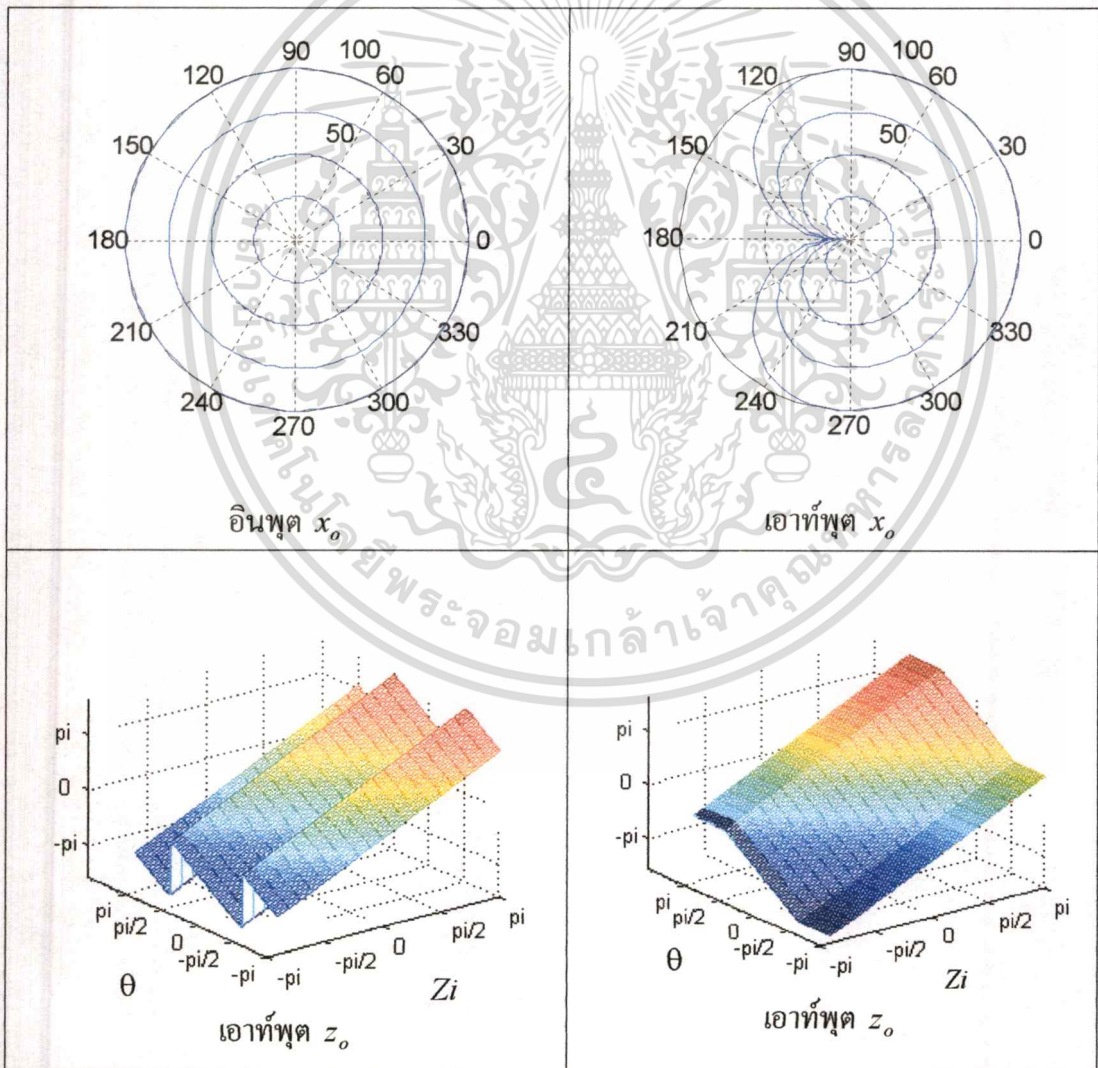
เอกสารนี้เป็นเอกสารที่สงวนไว้สำหรับการใช้งานเพื่อการศึกษาเท่านั้น ไม่อนุญาตให้นำไปใช้ประโยชน์ด้านการค้า
ไม่ว่ากรณีใดๆทั้งสิ้น อีกทั้งห้ามมิให้ตัดแปลงเนื้อหา และต้องอ้างอิงถึงเจ้าของเอกสารทุกครั้งที่มีการนำไปใช้

end;

xo=CordicScal(x(1)); yo=CordicScal(y(1)); zo=z(1);

end;

โปรแกรมด้านบนเป็นโปรแกรมจำลองการคำนวณตามหลักการ CORDIC Vectoring เป็นไปตามหลักการในบทที่ 3 โดยค่าเอาต์พุตของหลักการนี้ $x_o = \sqrt{x_i^2 + y_i^2}$, $y_o = 0$, $z_o = z_i + \tan^{-1}(y_i/x_i)$ เพื่อทดสอบความถูกต้องของโปรแกรมจำลองการทำงานตามหลักการ CORDIC Vectoring โดยการทดสอบค่า x_o กำหนดให้ $x_i = r \cdot \cos(\theta)$, $y_i = r \cdot \sin(\theta)$ โดยกำหนดให้ $-\pi \leq \theta \leq \pi$ และ $r = \{0,20,40,60,80,100\}$ เป็นอินพุตของโปรแกรม เอาต์พุตแสดง ดังรูป 5.4 บน ส่วนการทดลองค่า z_o กำหนดให้ $x_i = \cos(\theta)$, $y_i = \sin(\theta)$ โดย $-\pi \leq \theta \leq \pi$ และ $-\pi \leq z_i \leq \pi$



รูปที่ 5.4 แสดงเอาต์พุตและค่าที่เกิดจากการคำนวณผิดพลาดของ อัลกอริทึม CORDIC-V

เอกสารนี้เป็นเอกสารที่สงวนไว้สำหรับการใช้งานเพื่อการศึกษาเท่านั้น ไม่อนุญาตให้นำไปใช้ประโยชน์ด้านการค้า ไม่ว่าจะกรณีใดๆทั้งสิ้น อีกทั้งห้ามมิให้ตัดแปลงเนื้อหา และต้องอ้างอิงถึงเจ้าของเอกสารทุกครั้งที่มีการนำไปใช้

5.2.2 การจำลองทางคณิตศาสตร์หน่วยประมวลผล จี-โค้ดโปรเซสเซอร์

ในการจำลองทางคณิตศาสตร์ของหน่วยประมวลผลของ จี-โค้ดโปรเซสเซอร์ แบ่งการทดสอบออกเป็นสองการทดลอง โดยการทดลองแรกเป็นการทดสอบการทำงานของคำสั่ง G00 และ G01 และในส่วนที่สองเป็นการทดสอบการทำงานของ G02 และ G03

G00 G01 มีคำสั่งในการจำลองการทำงานดังนี้

```
function [Px,Py,Vx,Vy,Ax,Ay]=G00G01(X1,Y1,X0,Y0,V,A);
```

```
[Tx,Ty,F1,F2]=PreCordic(X1-X0,Y1-Y0);
```

```
[Tx,Ty,Z]=CordicV(Tx,Ty,0);
```

```
Tz=Z;
```

```
[Vx,Vy,Tz]=CordicR(V,0,Tz);
```

```
[Vx,Vy]=PosCordic(Vx,Vy,F1,F2);
```

```
Tz=Z;
```

```
[Ax,Ay,Tz]=CordicR(A,0,Tz);
```

```
[Ax,Ay]=PosCordic(Ax,Ay,F1,F2);
```

```
Px=X1; Py=Y1;
```

```
end;
```

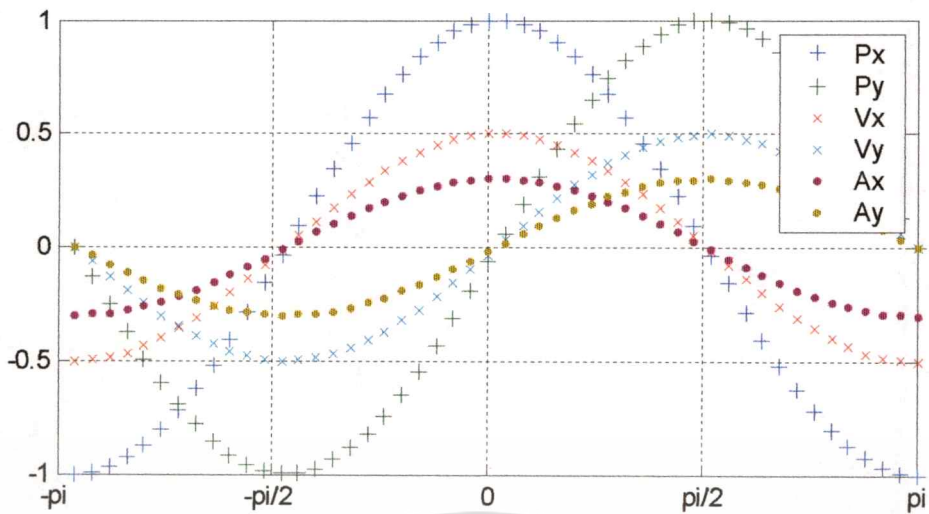
โปรแกรมด้านบนเป็นโปรแกรมจำลองการคำนวณในการเคลื่อนที่เป็นเส้นตรง (Linear Interpolation) เป็นไปตามหลักการในบทที่ 4 โดยค่าเอาต์พุตมีค่าดังต่อไปนี้ $P_x = X_1$, $P_y = Y_1$,

$$V_x = V \cdot \cos\left(\tan^{-1}\left(\frac{Y_1 - Y_0}{X_1 - X_0}\right)\right), \quad V_y = V \cdot \sin\left(\tan^{-1}\left(\frac{Y_1 - Y_0}{X_1 - X_0}\right)\right),$$

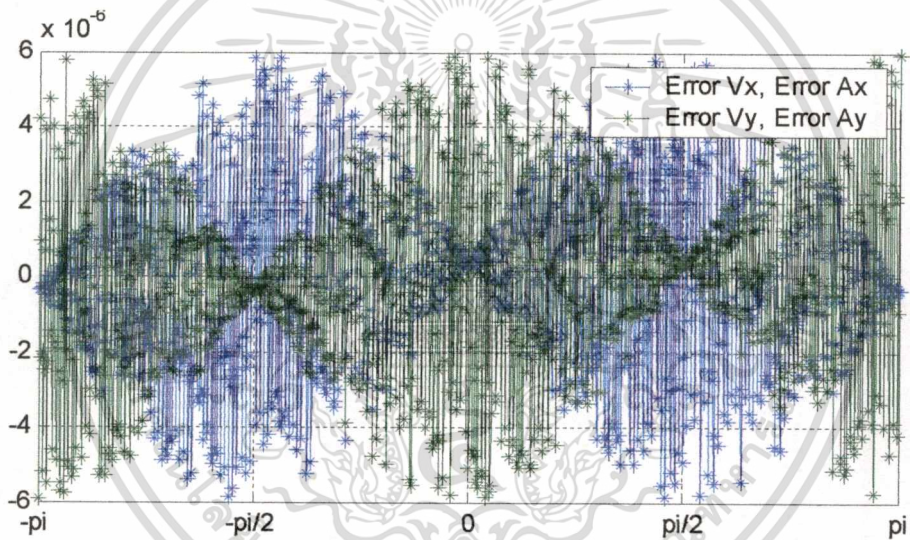
$$A_x = A \cdot \cos\left(\tan^{-1}\left(\frac{Y_1 - Y_0}{X_1 - X_0}\right)\right), \quad A_y = A \cdot \sin\left(\tan^{-1}\left(\frac{Y_1 - Y_0}{X_1 - X_0}\right)\right) \text{ เพื่อทดสอบความถูกต้อง}$$

ของโปรแกรมจำลองการทำงาน กำหนดให้ $X_1 = \cos(\theta)$, $Y_1 = \sin(\theta)$, $X_0 = 0$, $Y_0 = 0$,

$V = 0.5$ และ $A = 0.3$ ผลการทดสอบแสดงดังรูปที่ 5.5 และรูปที่ 5.6



รูปที่ 5.5 แสดงค่าเอาต์พุตของการจำลองการทำงาน G00G01



รูปที่ 5.6 แสดงค่าความผิดพลาดของการจำลองการทำงานคิดเป็นร้อยละ

G02 G03 มีคำสั่งในการจำลองการทำงานดังนี้

```
function [Px,Py,Vx,Vy,Ax,Ay]=G02(I,J,X0,Y0,Sthe,n,V,A);
```

```
Vx=1:n; Vy=1:n; Ax=1:n; Ay=1:n;
```

```
x=1:n+1; y=1:n+1;
```

```
Dz=Sthe/n; %G03 used Dz=-Sthe/n;
```

```
x(1)=X0; y(1)=Y0;
```

```
for i=1:n
```

```
[Vx(i),Vy(i),F1,F2]=PreCordic(x(i)-I,y(i)-J);
```

เอกสารนี้เป็นเอกสารที่สงวนไว้สำหรับการแข่งขันเพื่อการศึกษาเท่านั้น ไม่อนุญาตให้นำไปใช้ประโยชน์ด้านการค้า

ไม่ว่ากรณีใดๆทั้งสิ้น อีกทั้งห้ามมิให้คัดแปลงเนื้อหา และต้องอ้างอิงถึงเจ้าของเอกสารทุกครั้งที่มีการนำไปใช้

```
[Ax(i),Ay(i),Z]=CordicR(Vx(i),Vy(i),Dz);
```

```
[x(i+1),y(i+1)]=PosCordic(Ax(i),Ay(i),F1,F2);
```

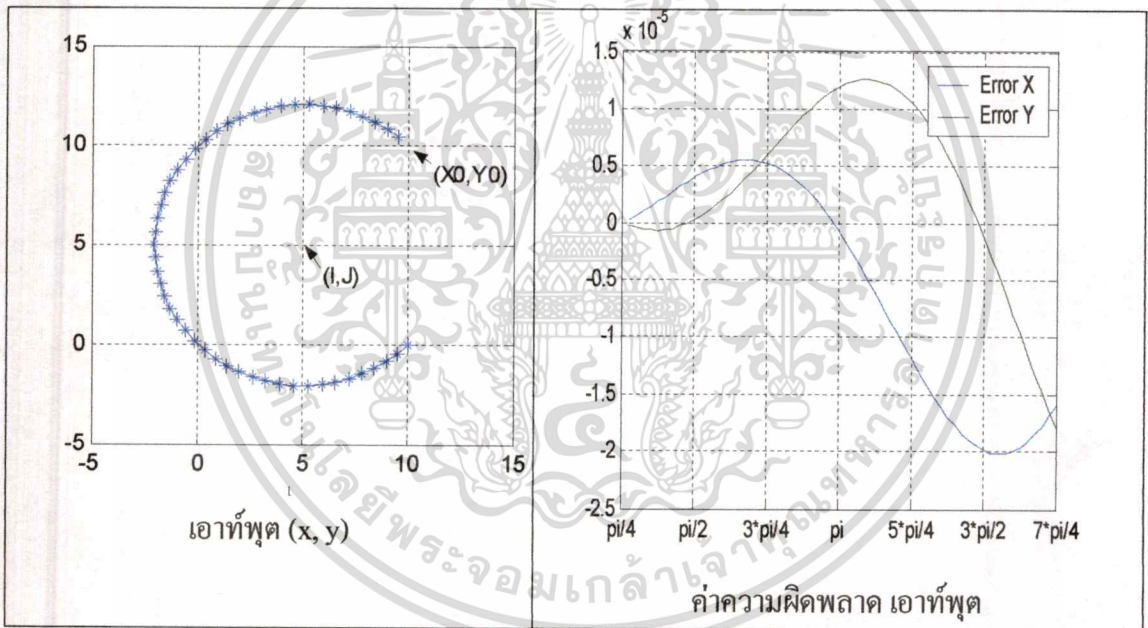
```
x(i+1)=x(i+1)+I;y(i+1)=y(i+1)+J;
```

```
[Px(i),Py(i),Vx(i),Vy(i),Ax(i),Ay(i)]=G01(x(i+1),y(i+1),i,j,V,A);
```

```
end
```

```
end;
```

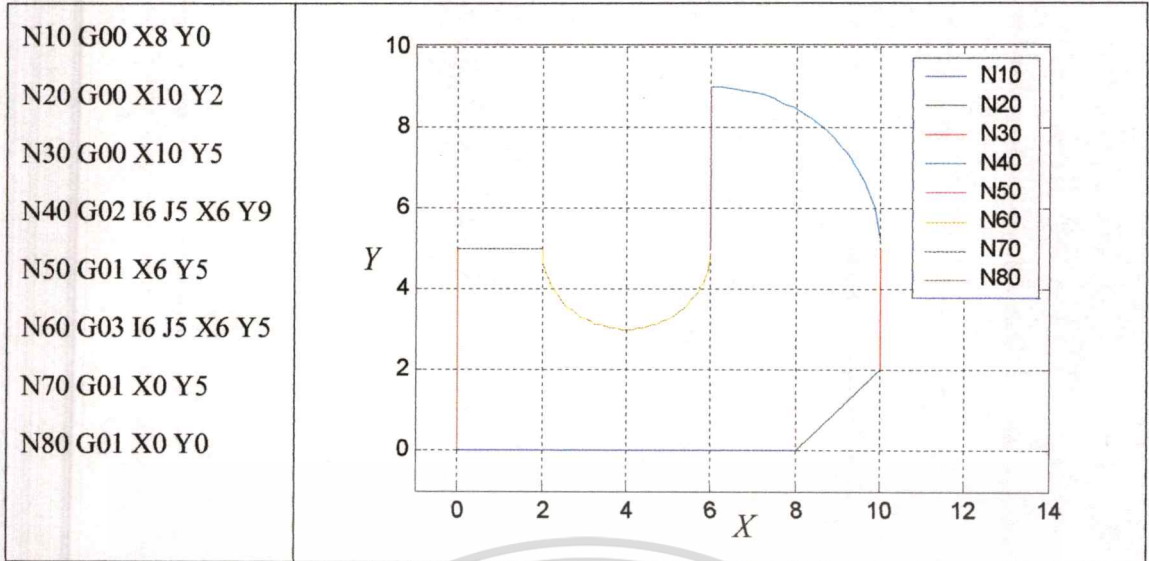
โปรแกรมด้านบนเป็น โปรแกรมจำลองการคำนวณในการเคลื่อนที่ในแบบเส้นโค้งส่วนของวงกลม (Circular Interpolation) เป็นไปตามหลักการในบทที่ 4 ทดสอบการทำงาน โดยการกำหนดให้ $I=5, J=10, X0=10, Y0=10, Sthe=3\pi/2, n=50, V$ และ V เป็นค่าคงที่นำค่า Px และ Py มาแสดงผลดังรูปที่ 5.7



รูปที่ 5.7 แสดงค่าคู่อันดับ(Px, Py) และค่าผิดพลาด ที่ได้จากการทดลองโปรแกรม G02

5.2.3 การจำลองทางคณิตศาสตร์ ตามรูปแบบการใช้งานจริง

ในการทดลองนี้เป็นการจำลองการชุดคำสั่ง G-Code เพื่อใช้เคลื่อนหัวเครื่องจักรในแนวระนาบ (x, y) ตามรูปที่ 5.8

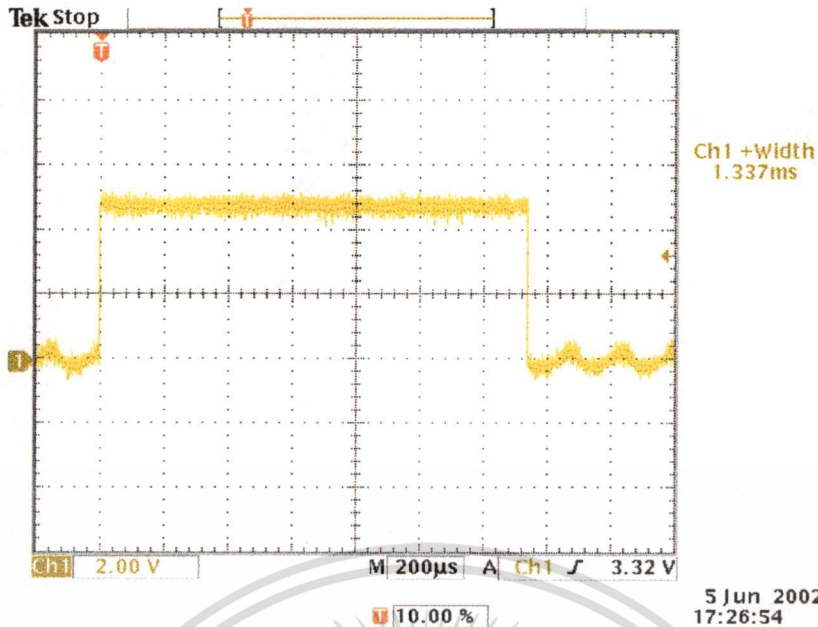


รูปที่ 5.8 แสดงเส้นทางการเคลื่อนที่ของหัวเครื่องจักรตามแนวระนาบ x,y

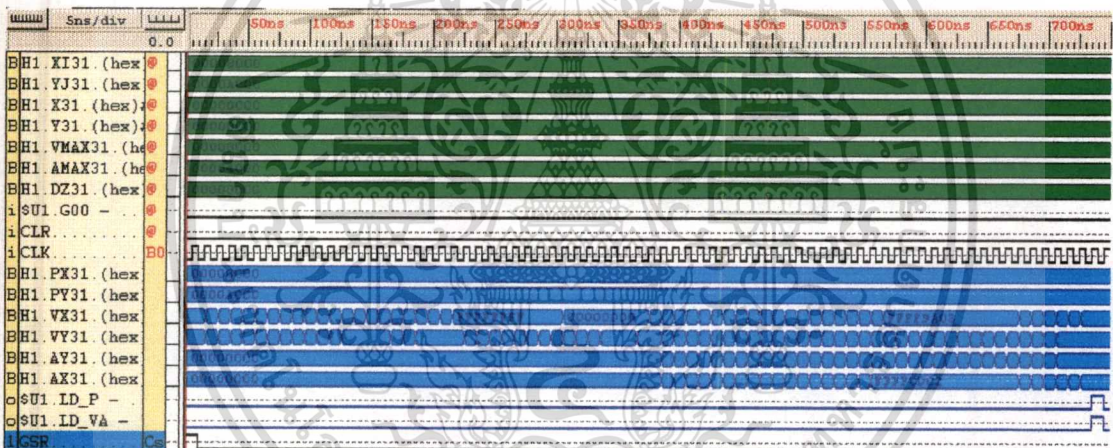
จากรูปที่ 5.8 ทางด้านซ้าย เป็นคำสั่ง G-Code โดยกำหนดให้สถานะปัจจุบันของเครื่องจักรอยู่ที่ตำแหน่ง (0,0) คำสั่งแรก N10 G01 X8 Y0 เป็นคำสั่งให้หัวเครื่องจักรเคลื่อนที่เป็นเส้นตรงไปยังตำแหน่ง (8,0) เช่นเดียวกับคำสั่งที่ N20, N30, N50, N70 และ N80 ทำงานเหมือน คำสั่ง N10 แตกต่างที่ตำแหน่งปลายทางเคลื่อนที่ ส่วนคำสั่ง N40 และ N60 เป็นคำสั่งเคลื่อนที่ในรูปแบบส่วนของวงกลม โดยมีจุดศูนย์กลางอยู่ที่ตำแหน่งคู่อันดับ (I,J) และมีจุดปลายทางอยู่ที่คู่อันดับ (X,Y)

5.3 การทดสอบทางด้านความเร็วในการทำงาน

ในการทดสอบนี้ใช้ระบบที่มีอยู่เดิม [6] ซึ่งมีตัวประมวลผลเป็น MCS-51 ความถี่ระบบ 8 MHz ทดสอบโดยให้คำนวณหาค่าในการเคลื่อนที่เป็นเส้นตรง (Linear Interpolation) เป็นไปตามหลักการคำนวณในบทที่ 4 โดยมีโปรแกรมชุดคำสั่งภาษา C ตามภาคผนวก ก. แล้ววัดสัญญาณ ที่ขาตัวประมวลผล ซึ่งใช้เวลาในการประมวลผล 1.337 ms แสดงดังรูปที่ 5.9 เมื่อคำนวณเป็นจำนวนสัญญาณที่ใช้ในการทำงานได้ 10696 สัญญาณ เมื่อเปรียบเทียบกับรูปที่ 5.10 การจำลองจากโปรแกรม Xilinx Foundation F1.5 ซึ่งเป็นโปรแกรมใช้ในการออกแบบ FPGA ใช้สัญญาณนาฬิกาจำนวน 74 สัญญาณ ซึ่งทำงานเร็วขึ้นประมาณ 99.3%



รูปที่ 5.9 ผลการวัดการประมวลผลจากระบบจริงที่ใช้ MCS-51 ความถี่ระบบ 8 MHz



รูปที่ 5.10 ผลการจำลองวงจรประมวลผล ด้วยโปรแกรม Foundation 1.5

ในส่วนของการพิจารณาเวลาของระบบทั้งหมดนั้นเมื่อพิจารณาโดยใช้กรณีตัวอย่างเครื่องเย็บรองเท้าซึ่งเป็นเครื่องจักรชนิด 3 แกน คือแกน X, Y, และ Z โดยแกน X และแกน Y เป็นการเคลื่อนที่ในระนาบ 2 มิติ และแกน Z เป็นการเคลื่อนที่ของเข็มเย็บรองเท้าโดยเมื่อมอเตอร์หมุนหนึ่งรอบ ทำให้เข็มเย็บรองเท้าขึ้นลงหนึ่งครั้ง หรือเรียกว่าเป็นการเย็บหนึ่งฝีเข็ม ในการทำการเย็บหนึ่งฝีเข็มเห็นได้ว่าเข็มจะจมอยู่ในเนื้อผ้า เป็นเวลาหนึ่งในสามของเวลาทั้งหมดที่ใช้ในการเย็บหนึ่งฝีเข็ม ซึ่งช่วงเวลาที่เข็มจมอยู่ในเนื้อผ้านี้เอง ทางด้านแกน X และ แกน Y ต้องหยุดอยู่กับที่เพื่อป้องกันมิให้เข็มเย็บหักเสียหาย ในกรณีตัวอย่างเครื่องเย็บรองเท้าที่พัฒนาขึ้น [6] ใช้ความเร็วมอเตอร์ในแกน Z ความเร็วอยู่ที่ประมาณ 3000 รอบต่อนาที มอเตอร์หมุนหนึ่งรอบใช้เวลา 20 ms ส่วนทางด้านแกน X และแกน Y หมุนหนึ่งรอบทำให้แกนเคลื่อนที่ 20 mm ดังนั้นเพื่อทำการเคลื่อนที่ในระยะเอกสารนี้เป็นเอกสารที่สงวนไว้สำหรับการใช้งานเพื่อการศึกษาเท่านั้น ไม่อนุญาตให้นำไปใช้ประโยชน์ด้านการค้า ไม่ว่าจะกรณีใดๆทั้งสิ้น อีกทั้งห้ามมิให้ตัดแปลงเนื้อหา และต้องอ้างอิงถึงเจ้าของเอกสารทุกครั้งที่มีการนำไปใช้

ปกติของผีเสื้อ 3 mm จึงจำเป็นต้องใช้เวลา $2/3$ ของ 20 ms หรือประมาณ 13.33 ms ดังนั้นความเร็วรอบของมอเตอร์แกน X และแกน Y อยู่ที่ประมาณ 675 รอบต่อนาที เมื่อเราพิจารณาความเร็วของการประมวลผลในการคำนวณการเคลื่อนที่ดังนั้นตัวประมวลผลจึงจำเป็นต้องคำนวณให้เสร็จภายในเวลา 20 ms ซึ่งเป็นค่าความเร็วของมอเตอร์แกน Z เคลื่อนที่หนึ่งรอบ เมื่อใช้ตัวประมวลผล MCS-51 ความถี่ระบบ 8 MHz ต้องใช้เวลาในการประมวลผล 1.337 ms เวลาที่ใช้ในการประมวลผลคิดเป็น 6.68% ของเวลาที่ใช้ได้ทั้งหมด ดังนั้นความเร็วรอบสูงสุดของแกน Z ที่ใช้ตัวประมวลผล MCS-51 เป็นตัวประมวลผลอยู่ที่ประมาณน้อยกว่า 44,876 รอบต่อนาที เพราะต้องใช้เวลาส่วนหนึ่งกับการทำงานทางด้านอื่นของเครื่องจักร ส่วนความเร็วรอบสูงสุดของแกน Z ที่ใช้ตัวประมวลผล จี-โค้ด โปรเซสเซอร์ อยู่ที่ประมาณน้อยกว่า 6,486,486 รอบต่อนาที

ในปัจจุบันในการทำงานของเครื่องเย็บรองเท้า ที่ใช้ตัวประมวลผล MCS-51 เป็นตัวประมวลผล เพื่อควบคุมการหมุนของแกน Z โดยสามารถควบคุมความเร็วได้สูงสุดที่ 44,876 รอบต่อนาที ก็พอเพียงกับการใช้ควบคุมมอเตอร์แกน Z ที่ใช้กับเครื่องเย็บรองเท้าในปัจจุบันแล้ว แต่อย่างไรก็ตามได้เริ่มมีการวิจัยเพื่อเพิ่มความเร็วมอเตอร์ [22] ซึ่งความเร็วมอเตอร์อยู่ที่ประมาณ 20,000-200,000 ซึ่งตัวประมวลผล จี-โค้ด โปรเซสเซอร์ เป็นทางเลือกอีกวิธีหนึ่งในอนาคต

5.4 สรุป

ในบทนี้แสดงการทดสอบความถูกต้องในการคำนวณค่าของ หน่วยประมวลผล จี-โค้ด โปรเซสเซอร์ โดยแสดงเป็นแผนภูมิภาพตามความเหมาะสมในแต่ละขั้นตอนของการประมวลผล และ ในบทนี้ยังได้แสดงผลการเปรียบเทียบทางด้านความเร็วของระบบที่มีการพัฒนาอยู่เดิม [6] ที่ใช้ตัวประมวลผลเป็น MCH51 โดยการนับจำนวนสัญญาณที่ใช้ในการคำนวณระหว่างการใช้งานจริง เปรียบเทียบกับการจำลองการคำนวณค่าของหน่วยประมวลผล จี-โค้ด โปรเซสเซอร์ เพื่อนับจำนวนสัญญาณ และในบทนี้ยังได้ยกตัวอย่างกรณีศึกษาของเครื่องเย็บรองเท้า ที่มีข้อจำกัดทางด้านเวลาของการประมวลผลอยู่ที่ความเร็วรอบของเข็มเย็บผ้า โดยเปรียบเทียบที่ความเร็วสูงสุดที่ตัวประมวลผล MCH51 ทำได้กับความเร็วสูงสุดที่ตัวประมวลผล จี-โค้ด โปรเซสเซอร์ทำได้

บทที่ 6

สรุปผลการวิจัยและข้อเสนอแนะ

6.1 สรุปผลการวิจัย

การใช้งานเครื่องจักรซีเอ็นซีในปัจจุบันนั้น เริ่มมีการเปลี่ยนรูปแบบการใช้งานจากการที่ผู้ใช้ทำการ ออกแบบเส้นทางการเคลื่อนของเครื่องจักรในกระดาษ แล้วใช้ความชำนาญ เปลี่ยนข้อมูลที่อยู่ในกระดาษนั้นให้เป็นคำสั่ง จี-โค้ด แล้วนำคำสั่ง จี-โค้ด ที่สร้างขึ้นมานั้นไปป้อนให้กับเครื่องจักร ซึ่งวิธีนี้เห็นได้ว่าเกิดจากในอดีตเทคโนโลยีทางด้านคอมพิวเตอร์ช่วยออกแบบ ยังไม่มีการใช้งานกันมากนัก ทำให้ผู้พัฒนาระบบเครื่องจักรซีเอ็นซี ต้องออกแบบชุดคำสั่ง จี-โค้ด ให้ทำงานที่ซับซ้อนขึ้นเพื่อสะดวกต่อผู้ใช้งาน แต่อย่างไรก็ตาม เมื่อมีการใช้โปรแกรมคอมพิวเตอร์ช่วยออกแบบมากขึ้นผู้ใช้ไม่จำเป็นต้องเขียนคำสั่ง จี-โค้ดด้วยตัวเองอีก ดังนั้นชุดคำสั่ง จี-โค้ด ที่ซับซ้อนและไม่เป็น มาตรฐานของเครื่องจักร แต่ละบริษัทก็มีความจำเป็นในการใช้งานน้อยลง แนวคิดของจี-โค้ด โปรเซสเซอร์ จึงได้เกิดขึ้นเพื่อลดขนาดของระบบเครื่องจักรซีเอ็นซี [1-5][7][16-20] เพิ่มความเร็วในการประมวลผลให้มากขึ้น และง่ายแก่การออกแบบและพัฒนาระบบเครื่องจักรซีเอ็นซี โดยตัดส่วนที่ใช้ติดต่อกับผู้ใช้ออกแล้วรองรับชุดคำสั่ง จากโปรแกรมคอมพิวเตอร์ช่วยออกแบบแทน

ในงานวิจัยนี้ได้แสดงแนวความคิดในการออกแบบ จี-โค้ด โปรเซสเซอร์ โดยรองรับคำสั่งการเคลื่อนที่ของเครื่องจักร คือคำสั่ง G00, G01, G02 และ G03 ซึ่งได้แบ่งโครงสร้างหลักออกเป็น 4 ส่วน

- 1) วงจรในการประมวลผล (Arithmetic Unit)
- 2) วงจรในการควบคุมภายใน (Control Unit)
- 3) ส่วนของการเก็บข้อมูล และเส้นทางของข้อมูล (Register and Data Path)
- 4) ส่วนของการเชื่อมต่อกับอุปกรณ์ภายนอก (Interface)

ซึ่งในแต่ละส่วนเหมือนกับารออกแบบ โปรเซสเซอร์ทั่วไปยกเว้นในส่วนที่ 1 ที่มีความซับซ้อนในการประมวลผลมากกว่า โดยได้แสดงอัลกอริทึม และหลักการโดยละเอียด เริ่มจากหลักการทางคณิตศาสตร์ ของ คอร์ดิกอัลกอริทึม ซึ่งเป็นหลักการทางคณิตศาสตร์เพื่อคำนวณค่าทาง ฟังก์ชันตรีโกณมิติ ซึ่งหลักการนี้เป็นหลักการที่เหมาะสมในการนำมาสร้างเป็นวงจรทำงานจริง โดยมีผู้เสนอผลงานวิจัยในส่วนนี้จำนวนมากตัวอย่างเช่น [8-11]

งานวิจัยนี้ได้วิเคราะห์ ความถูกต้องของหลักการ คอร์ดิกอัลกอริทึม ซึ่งแสดงผลให้เห็นว่า มีการตอบสนองค่าที่ถูกต้องอยู่ในช่วง $-\pi/2$ ถึง $\pi/2$ เพื่อขยายช่วงการทำงานให้ครบตั้งแต่ $-\pi$ ถึง π จึงได้นำหลักการ PreCORDIC และ PostCORDIC [9] เข้ามาแก้ปัญหานี้ ทำให้

แม้ว่ากรณีใดๆ ฟังก์ชัน อีกฟังก์ชันมีเหตุผลแปลงเนื้อหา และต้องอ้างอิงถึงเจ้าของเอกสารทุกครั้งที่มีการนำไปใช้

ตอบสนองค่าได้ตามที่ต้องการ หลังจากนั้นงานวิจัยนี้ได้ แสดงวิธีการและการวิเคราะห์ผลในการนำหลักการ คอร์ดิกอัลกอริทึม มาต่อรวมกันเพื่อแก้สมการของการหาค่า ความเร็วและความเร่ง ซึ่งเป็นคุณสมบัติของ หน่วยประมวลผล โดยผลของการวิเคราะห์ มีค่าเป็นความผิดพลาดอยู่ช่วงที่ยอมรับได้ คืออยู่ในช่วง $\pm 2.5 \times 10^{-5}$ งานวิจัยนี้ยังได้ทดสอบการออกแบบทาง อัลกอริทึม โดยจำลองการทำงานในส่วนของการคำนวณค่าการเคลื่อนที่เป็นเส้นตรงจากจุดหนึ่ง ไปอีกจุดหนึ่ง ซึ่งการทำงานใช้สัญญาณนาฬิกาในระบบ 74 สัญญาณ ทั้งนี้ไม่รวมเวลาในการโอนถ่ายข้อมูลระหว่างหน่วยความจำเข้ามาในโปรเซสเซอร์และการโอนข้อมูลในตัวโปรเซสเซอร์เพื่อจัดเตรียมการประมวลผลเปรียบเทียบกับระบบเดิม [6] ที่ใช้ตัวประมวลผล MCH51 ใช้สัญญาณนาฬิกาในระบบ 10696 สัญญาณ โดยนับรวมการโอนข้อมูลในตัวโปรเซสเซอร์เพื่อจัดเตรียมการประมวลผล แต่ไม่นับรวมการโอนถ่ายข้อมูลระหว่าง หน่วยความจำเข้ามาใน โปรเซสเซอร์ เนื่องจากได้กำหนดให้ข้อมูลอยู่ในหน่วยความจำในตัวโปรเซสเซอร์แล้ว ซึ่งเมื่อเปรียบเทียบผลแล้วมีความเร็วในการทำงานเพิ่มขึ้นมาก ประมาณ 99%

เมื่อพิจารณาวิเคราะห์ประสิทธิภาพส่วนคอร์ดิกอัลกอริทึม ที่เป็นอัลกอริทึมพื้นฐาน เพื่อใช้สร้างส่วนประมวลผล ของจี-โค้ด โปรเซสเซอร์ ความถูกต้องในการคำนวณขึ้นกับส่วนสำคัญ 3 ส่วน คือ

- 1) กับลำดับของตัวเลข $S(m,i)$ และ $a(m,i)$ ที่แสดงอยู่ในตารางที่ 3.3 เป็นตัวเลขในการกำหนดการถ่วงน้ำหนักของ สมการคอร์ดิกอัลกอริทึม ในส่วนนี้เป็นส่วนที่ทำให้เกิดข้อผิดพลาดมากที่สุด
- 2) วงจรบวกเลขตัวเลข เกิดขึ้นเมื่อทำการบวกเลขที่เป็นจุดทศนิยม หลังจากที่ทำกรบวกเลขค่าเสร็จเรียบร้อยแล้วต้องทำการปรับ เลขยกกำลังซึ่งทำให้เกิดค่าผิดพลาดในกรณีที่ตัวเลขทั้งสองมีค่าที่แตกต่างกันมากๆ
- 3) ค่าที่เราประมาณด้วยตัวเลขในตารางค่าของ $\alpha_{m,i} = \tan^{-1}(2^{-s(m,i)})$ เมื่อแทนด้วยตัวเลขฐานสองทำให้เกิดความผิดพลาดในส่วนของจุดทศนิยม

แต่อย่างไรก็ตามค่าความผิดพลาดของการทำงานตามหลักการคอร์ดิกอัลกอริทึม ก็อยู่ในช่วงที่ยอมรับได้ เพราะมีค่าความผิดพลาดน้อยมากเมื่อเปรียบเทียบกับความผิดพลาดของเครื่องจักร

6.2 แนวทางในการพัฒนา

แนวทางการพัฒนา แบ่งพิจารณาเป็นส่วนๆ โดยเริ่มจากส่วนของตัว จี-โค้ด โปรเซสเซอร์ โดยเพิ่มการทำงานดังนี้

- ทำการรวมส่วนของการควบคุมมอเตอร์เข้ามาอยู่ในส่วนของ จี-โค้ด โปรเซสเซอร์ เพื่อ

ความสะดวกในการเชื่อมต่อและควบคุม มอเตอร์

เอกสารนี้เป็นเอกสารที่สงวนไว้สำหรับกรใช้งานเพื่อการศึกษาเท่านั้น ไม่อนุญาตให้นำไปใช้ประโยชน์ด้านการค้า

ไม่ว่ากรณีใดๆทั้งสิ้น อีกทั้งห้ามมิให้ตัดแปลงเนื้อหา และต้องอ้างอิงถึงเจ้าของเอกสารทุกครั้งที่มีการนำไปใช้

- รวมการทำงานของระบบ PLC (Program Logic Control) เข้ามาอยู่ใน จี-โค้ด โปรเซสเซอร์ เพื่อขยายความสามารถของ ตัวโปรเซสเซอร์ให้ควบคุมเครื่องจักรได้หลายรูปแบบขึ้น
- รวมการทำงานของ เอ็ม-โค้ด บางตัวเพื่อรองรับคำสั่งเฉพาะเครื่องจักรซีเอ็นซี ประเภทต่างๆเฉพาะรูปแบบของเครื่องจักรซีเอ็นซีนั้นๆ

แนวทางในการพัฒนาส่วนของคอร์คิออลกอริทึม เป็นการใช้เทคนิค Pipelined Architecture เพื่อเพิ่มความเร็วในการทำงาน



บรรณานุกรม

- [1] ตินชัย กมลภิวังศ์ และ ทศพร กมลภิวังศ์. “การพัฒนาระบบควบคุมเครื่องพับเหล็กชนิดไฮโดรลิกเพื่ออุตสาหกรรม.” การประชุมวิชาการทางไฟฟ้าครั้งที่ 16, พ.ศ.2536, หน้า 590-594
 - [2] สมหญิง ไทยนิมิต และ วโรคม คู่อัจฉริยา. “การพัฒนาเครื่องกลึงซีเอ็นซีสำหรับฝึกรบ.” การประชุมวิชาการประจำปี ศูนย์เทคโนโลยีอิเล็กทรอนิกส์และคอมพิวเตอร์แห่งชาติ, พ.ศ.2537, หน้า 113-119
 - [3] วโรคม คู่อัจฉริยา. “DSP based multi-axis servo controllers.” วิทยานิพนธ์ระดับปริญญาโท คณะวิศวกรรมศาสตร์ มหาวิทยาลัยเกษตรศาสตร์, พ.ศ.2536
 - [4] กวิน สุนทรเพิ่มพูน และ คณะ. “การสร้างต้นแบบส่วนควบคุมเครื่องกัดแนวตั้งซีเอ็นซี และการสร้างชุดฝึกเครื่องกัดแนวตั้ง ของเครื่องกลึงซีเอ็นซี สำหรับกองวิทยาลัยเทคนิค กรมอาชีวศึกษา.” การประชุมวิชาการประจำปีศูนย์เทคโนโลยีอิเล็กทรอนิกส์และคอมพิวเตอร์แห่งชาติ, พ.ศ. 2537, หน้า 120-125
 - [5] พิสุทธิ อภิขยกุล กวิน สุนทรเพิ่มพูน และ โยธินเปรมปราณีรัชต์. “การสร้างต้นแบบคอมพิวเตอร์ควบคุมเครื่องกลึง.” การประชุมวิชาการทางไฟฟ้าครั้งที่ 20, พ.ศ.2540, หน้า 586-591.
 - [6] กฤษณ์ จงสถยศักดิ์ และ สุทธิ ผู้เจริญชนะชัย. “การพัฒนาต้นแบบคอมพิวเตอร์ควบคุมเครื่องจักรกลซีเอ็นซี.” การประชุมวิชาการประจำปีศูนย์เทคโนโลยีอิเล็กทรอนิกส์และคอมพิวเตอร์แห่งชาติ, พ.ศ.2542
 - [7] Dong-Il Kim, Jin-Il Song and Sungkwun Kim. “Design of digital signal processor system for CNC systems.” Industrial Electronics Control and Instrumentation, 1991. Proceedings. IECON '91., 1991 International Conference on, vol.3, 1991 , pp1861 -1866
 - [8] D.timmermann, H.Hahn, B.J. Hosticka, and G.Schmidt. “A Programmable CORDIC Chip for Digital Signal.” Processing Application IEEE Journal of Solid-State Circuits, Vol 26, No 9, September 1991
 - [9] Gerben J. Hekstra and Ed F.A. Deprettere. “Floating Point Cordic.” Computer Arithmetic, 1993. Proceedings., 11th Symposium on, 1993, pp130 -137
 - [10] Helmut Hahn, Dirk Timmermann, Bedrich J.Hosticka and Bernold Rix. “A Unified and Division-Free CORDIC Argument Reduction Method With Unlimited Convergence Domain Including Inverse Hyperbolic Function.” IEEE Transaction on Computer, Vol 43, No 11, November 1994
- การที่สงวนไว้สำหรับการใช้งานเพื่อการศึกษาเท่านั้น ไม่อนุญาตให้นำไปใช้ประโยชน์ด้านการค้า
ไม่ว่ากรณีใดๆทั้งสิ้น อีกทั้งห้ามมิให้ตัดแปลงเนื้อหา และต้องอ้างอิงถึงเจ้าของเอกสารทุกครั้งที่มีการนำไปใช้

- [11] D.timmermann, B.Rix, H.Hahn and B.J. Hosticka. "A CMOS Floating-Point Vector-Arithmetic Unit." IEEE Journal of Solid-State Circuit, Vol 29, No 5, May 1994
- [12] John W. Carter. "Microprocessor Architecture and Microprogramming." A State Machine Approach, ISBN 0-13-192253-X, 1995
- [13] M.Moreaux and Dr.J.D. Decotignie. "CNC and PLC: are they one and the same for Machine-Tool?" Industrial Electronics Control and Instrumentation, IECON '91. 1991, pp924-927
- [14] Michel MOREAUX. "A CNC Model Well-Suited for the Requirement of CNC Soft Construction Environment." Control System, IEEE, 1993, pp176-181
- [15] J.D. Decotignie. "Fieldbus and CNC Architecture: towards a CNC software factory." Symposium on Emerging Technologies & Factory Automation, IEEE, 1994, pp338-344
- [16] Dong-II Kim and Chang Hyuk Yim. "All Digital High Performance Controller for Spindle Motor in CNC Machine Tool" MC2 IEEE, 1997,pp2.1-2.3
- [17] Dong-II Kim, Jin-II Song and Sungkwun Kim. "Dependence of Machining Accuracy on Acceleration/Decelation and Interpolation Methods in CNC Machine Tools." IEEE, 1994, pp1898-1905
- [18] F. Butera, B. Fontanella, P. Nesi and M. Perfetti "Reengineering a Computerized Numerical Control Towards Object-Oriented." IEEE, 1998, pp224-227
- [19] ศักดิ์ชัย พิทักษ์เสรีสกุล, หทัย ดัน โฉง และ สุรพันธ์ ตุ่มนาค. "การควบคุมชุดขับเคลื่อน 2 แกน โดยใช้อินพุตข้อมูลภาพจากซอฟต์แวร์ช่วยออกแบบ." การประชุมวิชาการทางวิศวกรรมไฟฟ้า ครั้งที่ 20, พ.ศ.2540, หน้า 100-105
- [20] รวี อดตมรณินทร์. "การสร้างต้นแบบส่วนควบคุมเครื่องกัดแนวตั้งซีเอ็นซี." วิทยานิพนธ์ วิศวกรรมศาสตรมหาบัณฑิต สาขาวิชาวิศวกรรมไฟฟ้า บัณฑิตวิทยาลัย, สถาบันเทคโนโลยีพระจอมเกล้าเจ้าคุณทหารลาดกระบัง, พ.ศ.2541
- [21] Hoang Le-Huy. "Microprocessor and Digital IC's for Motion Control." Proceedings of The IEEE, Vol 82, No 8, August 1994, pp1140-1163
- [22] Saari J. "Thermal Analysis of High-Speed Induction Machines." Acta Polytechnica Scandinavica Electrical Engineering Series No90, ISBN 952-5148-43-2, 1998, pp73
- [23] อมร ช่วยชู และ บรรจงปิยธำรง. "การออกแบบสถาปัตยกรรม G-Code โปรเซสเซอร์." National Computer Science and Engineering Conference NCSEC 2000, November 2000, pp197-204

เอกสารนี้เป็นเอกสารที่สงวนไว้สำหรับการใช้งานเพื่อการศึกษาเท่านั้น ไม่อนุญาตให้นำไปใช้ประโยชน์ด้านการค้า
ไม่ว่ากรณีใดๆทั้งสิ้น อีกทั้งห้ามมิให้ตัดแปลงเนื้อหา และต้องอ้างอิงถึงเจ้าของเอกสารทุกครั้งที่มีการนำไปใช้

ภาคผนวก ก.

โปรแกรมภาษา C ที่ใช้กับ ตัวประมวลผล MCH51 เพื่อคำนวณค่าตั้ง G00 และ G01

```
#include <reg320.H>
#include <stdio.h>
#include <absacc.h>
#include <ctype.h>
#include <stdlib.h>
#include <math.h>
#include <string.h>
#include <intrins.h>

// define 8255 address1
#define o_port1 XBYTE[0x7F04]
#define o_port2 XBYTE[0x7F05]
#define o_port3 XBYTE[0x7F06]
#define pgmem_op XBYTE[0x7C00]
```

```
// define 8255 address2
#define in_port1 XBYTE[0x7F00]
#define in_port2 XBYTE[0x7F01]
#define in_port3 XBYTE[0x7F02]
```

```
sbit pmd0_rdy = 0x90; // p1.0 input bit
sbit all_signal_en = 0x94; // p1.4 input bit
```

```
//-----
// prototype declare AxpBkup.c
//-----
```

```
signed long jab(signed long a)
{
    signed long ans=1;

    if(a < 0) ans =-1;

    return(ans);
}
```

```
void main(void)
{
    char count =0;
    signed long ddx = 1,ddy = 1;
    signed long rr1 = 5,rr2 = 4;
    signed long rr3 = 7,rr4 = 8;
    signed long sg1,sg2;
    float reg_ft=0.0,reg_ft1;
    float vx1 = 1.0,vy1 = 1.0;
    float ax1 = 1.0,ay1 = 1.0;
    float VMAX = 1.0,AMAX = 1.0;
    unsigned long ct=0;
```

```
EA =0;
CKCON = CKCON&0xD7;
PX0 = 1;
ITO = 0; // Start timer0
TMOD = 0x01;
EA =0;
```

เอกสารนี้เป็นเอกสารที่สงวนไว้สำหรับการใช้งานเพื่อการศึกษาเท่านั้น ไม่อนุญาตให้นำไปใช้ประโยชน์ด้านการค้า
ไม่ว่ากรณีใดๆทั้งสิ้น อีกทั้งห้ามมิให้ตัดแปลงเนื้อหา และต้องอ้างอิงถึงเจ้าของเอกสารทุกครั้งที่มีการนำไปใช้

```

EX0 = 0;
ET0 = 0;
all_signal_en=0;
while((in_port1 & 0x40) == 0) { }
o_port3 = 0x96;
o_port1 = 0xff;
o_port2 = 0xff;

while(1)
{
    pmd0_rdy = 1;           // Stat Calculating
    sg1 = jab(rr2 - rr1);
    sg2 = jab(rr4 - rr3);

    ddx = labs(rr2 - rr1);
    ddy = labs(rr4 - rr3);

    reg_fit1 = ddx/1000.0;
    reg_fit = ddy/1000.0;
    vx1 = sqrt(reg_fit1*reg_fit1 + reg_fit*reg_fit);
    reg_fit = reg_fit / vx1;
    reg_fit1 = reg_fit1 / vx1;
    vy1 = VMAX * reg_fit;
    vx1 = VMAX * reg_fit1;
    ay1 = AMAX * reg_fit;
    ax1 = AMAX * reg_fit1;
    pmd0_rdy = 0;         // End Calculating

    for(ct=0;ct < 50000;ct++){
        reg_fit1 = reg_fit1 + 0.0001;
        reg_fit = reg_fit + 0.0001;
        rr2 = rr2 + 1;
        rr1 = rr1 + 1;
        rr3 = rr3 + 1;
        rr4 = rr4 + 1;
        VMAX = VMAX + 0.0;
        AMAX = AMAX + 0.0;
    }
}

//-----END MAIN -----

```

ประวัติผู้เขียน

ชื่อผู้เขียน	นาย อมร ช่วยชู
วันเดือนปีเกิด	วันที่ 21 มีนาคม 2517
สถานที่เกิด	จังหวัดกรุงเทพฯ
วุฒิการศึกษาระดับปริญญาตรี	วิศวกรรมศาสตรบัณฑิต(เกียรตินิยมอันดับสอง) สาขาวิชาวิศวกรรมศาสตร์คอมพิวเตอร์ สถาบันเทคโนโลยีพระจอมเกล้าเจ้าคุณทหารลาดกระบัง
ปีที่สำเร็จการศึกษา	ปีการศึกษา 2539
ผลงานทางวิชาการที่ได้รับการตีพิมพ์	<ul style="list-style-type: none"> - การสร้างภาพเสมือนจริง การประชุมทางวิชาการวิศวกรรมไฟฟ้าครั้งที่ 20พ.ศ.2540 - การออกแบบสถาปัตยกรรม จี-โค้ด โปรเซสเซอร์ National Computer Science and Engineering Conference (NESEC 2000)
ประสบการณ์การทำงาน	<p>ผู้ช่วยนักวิจัย ใน โครงการ พัฒนาเครื่องจักร CNC หน่วยวิจัย Computer and Automation Technology Lab(CTL) ศูนย์เทคโนโลยีอิเล็กทรอนิกส์และคอมพิวเตอร์แห่งชาติ (NECTEC) พ.ศ.2540 ถึง พ.ศ.2545</p>